

电子电路与系统基础II

习题课第5讲 相量分析

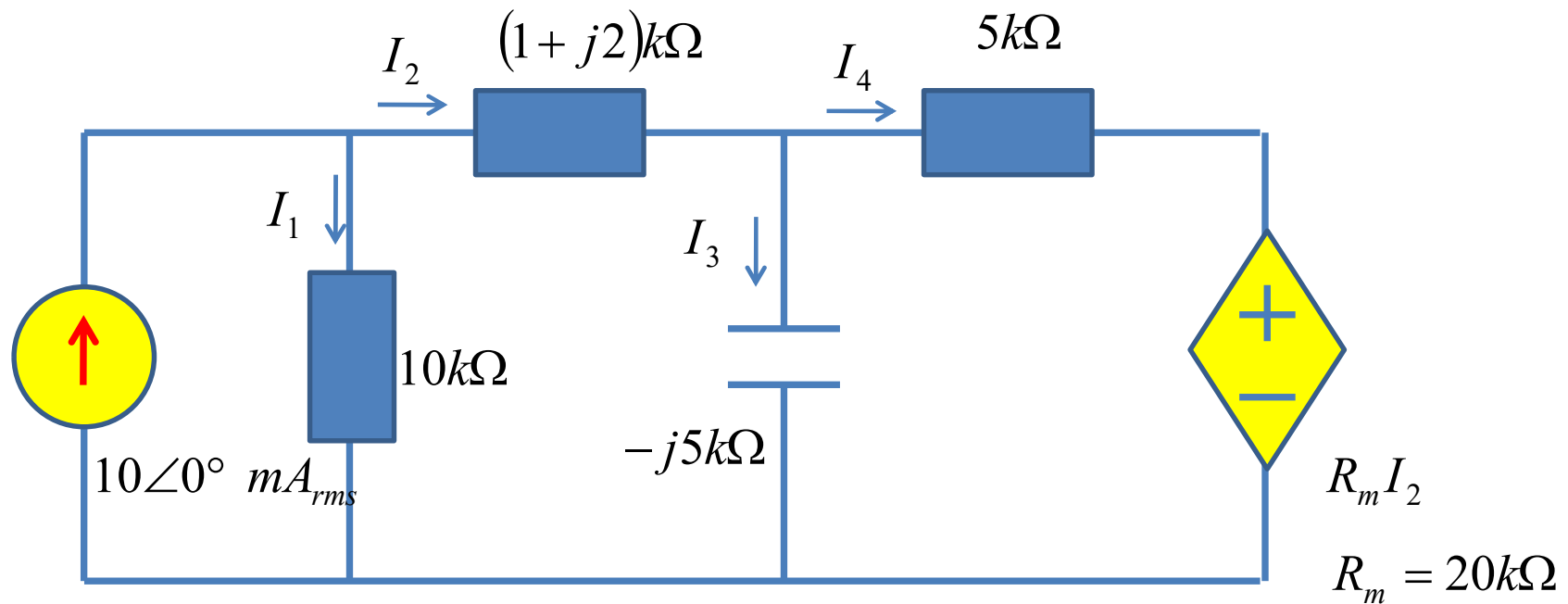
李国林

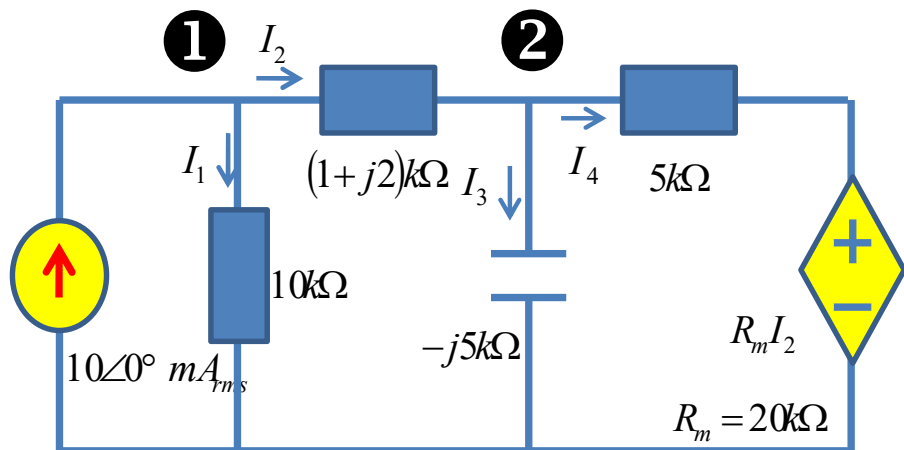
清华大学电子工程系

第三周作业 相量分析

作业7：频域下的结点电压法

- 用结点电压法列出如图所示电路的电路方程，求解结点电压，之后再计算各个支路的电流分别为多少。
 - 可以利用**matlab**进行复数运算，但必须给出计算过程和步骤





结点电压法列写电路方程

单位

电压: **V**, 电流: **mA**, 导纳: **mS**

$$\begin{bmatrix} \frac{1}{10} + \frac{1}{1+j2} & -\frac{1}{1+j2} \\ -\frac{1}{1+j2} & \frac{1}{1+j2} - \frac{1}{j5} + \frac{1}{5} \end{bmatrix} \begin{bmatrix} \dot{V}_1 \\ \dot{V}_2 \end{bmatrix} = \begin{bmatrix} 10 \\ \frac{R_m \dot{I}_2}{5} \end{bmatrix} = \begin{bmatrix} 10 \\ 4 \frac{(\dot{V}_1 - \dot{V}_2)}{1+j2} \end{bmatrix}$$

$$\begin{bmatrix} \frac{1}{10} + \frac{1}{1+j2} & -\frac{1}{1+j2} \\ -\frac{5}{1+j2} & \frac{5}{1+j2} - \frac{1}{j5} + \frac{1}{5} \end{bmatrix} \begin{bmatrix} \dot{V}_1 \\ \dot{V}_2 \end{bmatrix} = \begin{bmatrix} 10 \\ 0 \end{bmatrix}$$

$$\begin{bmatrix} \dot{V}_1 \\ \dot{V}_2 \end{bmatrix} = \begin{bmatrix} 66.45 \angle -13.8^\circ \\ 68.68 \angle -20.9^\circ \end{bmatrix} V_{rms}$$

$$\begin{bmatrix} \dot{I}_1 \\ \dot{I}_2 \\ \dot{I}_3 \\ \dot{I}_4 \end{bmatrix} = \begin{bmatrix} 6.645 \angle -13.8^\circ \\ 3.885 \angle 24.1^\circ \\ 13.736 \angle 69.1^\circ \\ 11.33 \angle -96.86^\circ \end{bmatrix} mA_{rms}$$

作业9 波特图

- 自学P640-648页内容，学会画波特图
 - 波特图：幅频特性和相频特性的分段折线描述
- 练习8.3.20 画出如下传递函数的波特图

$$H(j\omega) = -10 \frac{1 + \frac{j\omega}{5 \times 10^9}}{\left(1 + \frac{j\omega}{5 \times 10^6}\right) \left(1 + \frac{j\omega}{1 \times 10^8}\right) \left(1 + \frac{j\omega}{5 \times 10^{10}}\right)} = A(\omega) e^{j\varphi(\omega)}$$

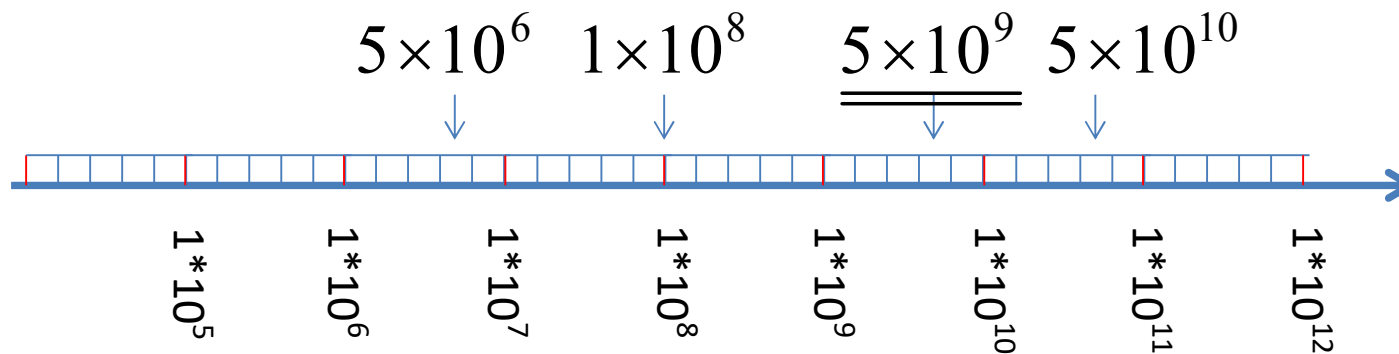
波特图画法规则

$$H(s) = A_0 \frac{(s + \omega_{z1})(s + \omega_{z2}) \dots (s + \omega_{zm})}{(s + \omega_{p1})(s + \omega_{p2}) \dots (s + \omega_{pn})}$$

- 零极点按大小排序，其数值和频率比，随着频率的上升， ...
 - 极点 $-\omega_{pi} < 0$ 一定位于左半平面
 - 极点就是系统特征根，特征根实部 < 0 ，系统才是稳定系统（时域响应具有指数衰减形式），只有稳定系统才讨论传递函数幅频特性、相频特性
 - 零点 $-\omega_{zj} \leq 0$ 均有可能，不影响系统稳定性
- 幅频特性
 - 碰到极点 -20 ，碰到零点 $+20$ ；
 - 每个极点都将导致 $20\text{dB}/10$ 倍频程的幅频特性的下降，每个零点都将导致 $20\text{dB}/10$ 倍频程的幅频特性的上升
- 相频特性
 - 极点滞后 90° ，零点看左右，左超前右滞 90°
 - 极点只能是左半平面极点，每个极点导致一个 90° 相位滞后；左半平面零点导致一个 90° 相位超前，右半平面零点导致一个 90° 相位滞后

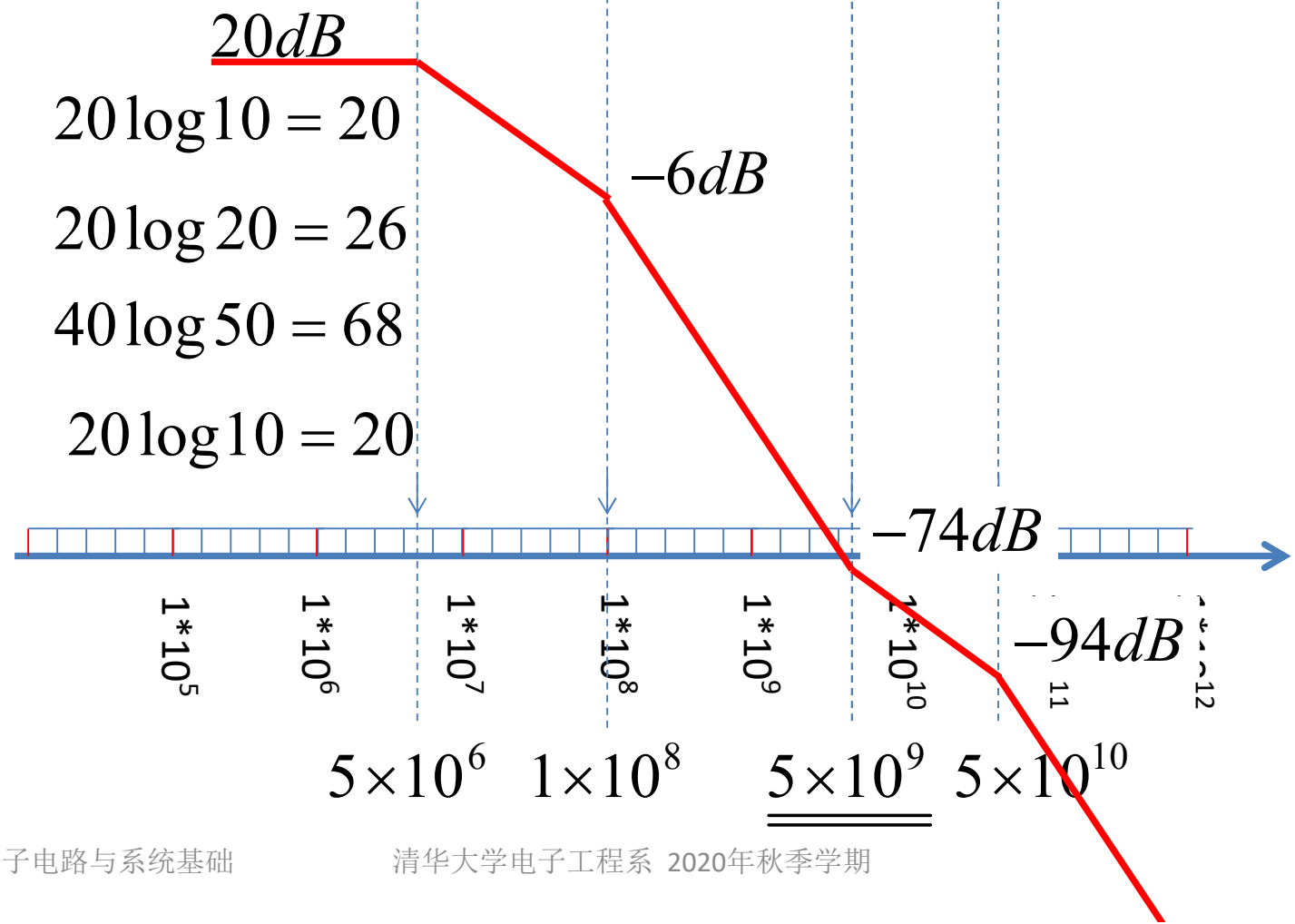
$$H(j\omega) = -10 \frac{1 + \frac{j\omega}{5 \times 10^9}}{\left(1 + \frac{j\omega}{5 \times 10^6}\right) \left(1 + \frac{j\omega}{1 \times 10^8}\right) \left(1 + \frac{j\omega}{5 \times 10^{10}}\right)} = A(\omega) e^{j\varphi(\omega)}$$

$$\begin{array}{cccc} 5 \times 10^6 & 1 \times 10^8 & \underline{\underline{5 \times 10^9}} & 5 \times 10^{10} \\ 20 & 50 & 10 & \end{array}$$



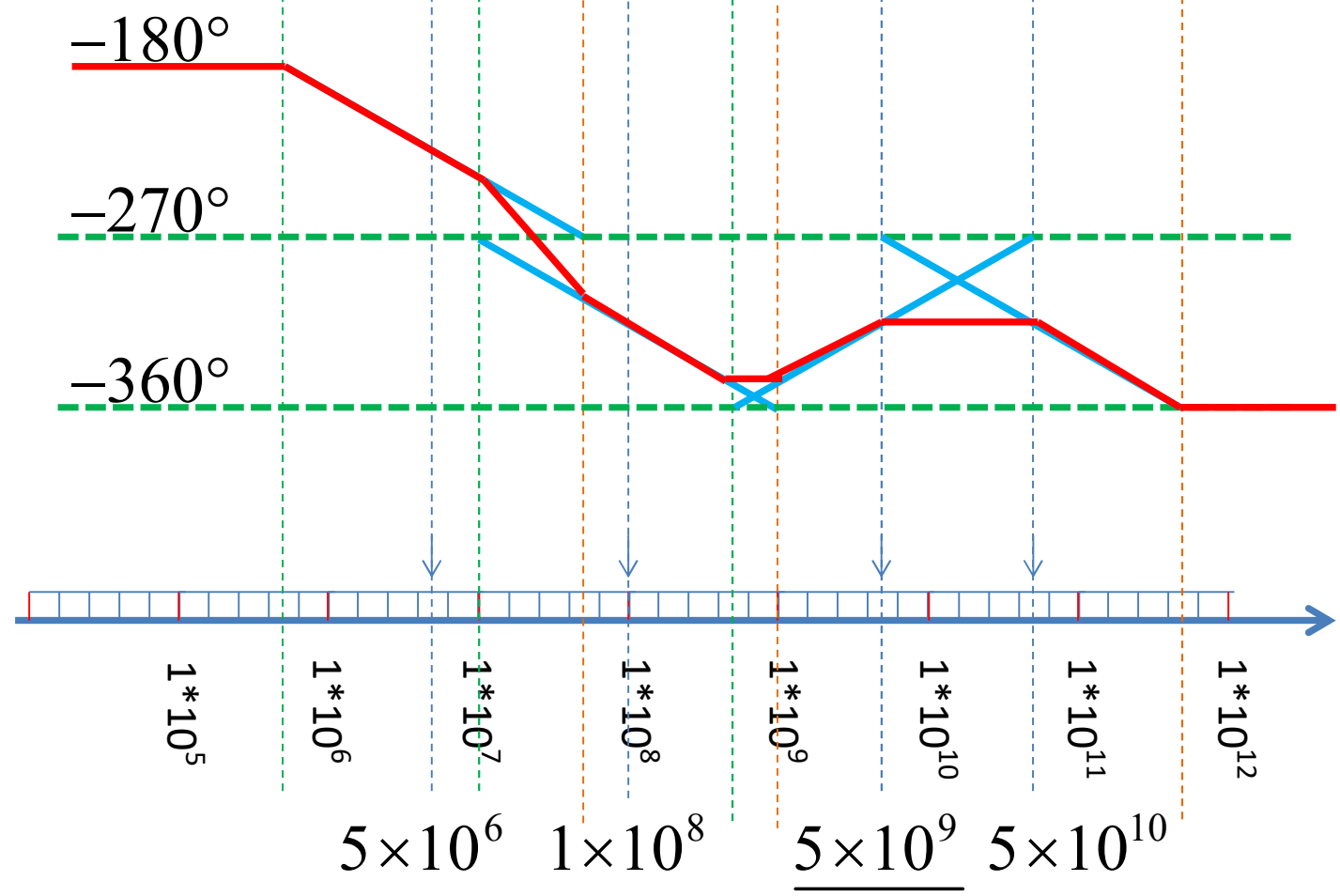
幅频特性

$$H(j\omega) = -10 \frac{1 + \frac{j\omega}{5 \times 10^9}}{\left(1 + \frac{j\omega}{5 \times 10^6}\right) \left(1 + \frac{j\omega}{1 \times 10^8}\right) \left(1 + \frac{j\omega}{5 \times 10^{10}}\right)} = A(\omega)e^{j\varphi(\omega)}$$



相频特性

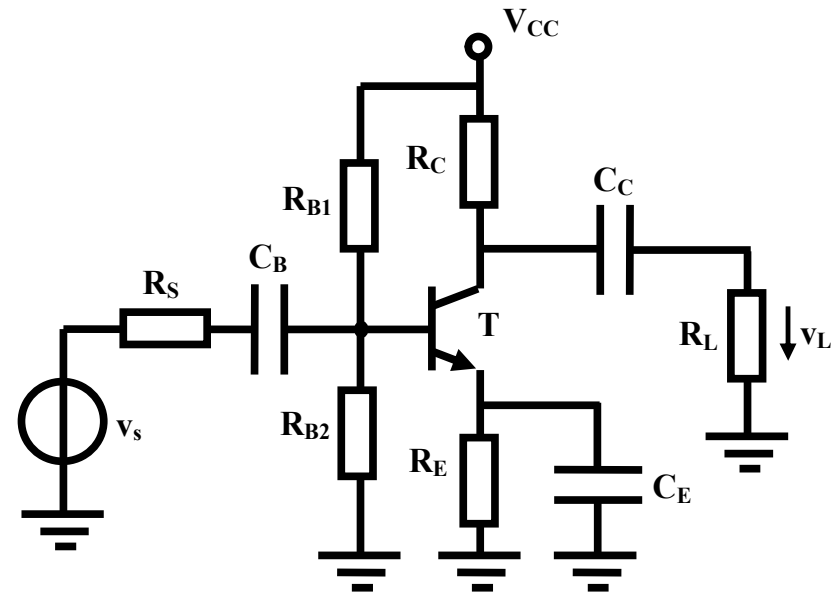
$$H(j\omega) = -10 \frac{1 + \frac{j\omega}{5 \times 10^9}}{\left(1 + \frac{j\omega}{5 \times 10^6}\right) \left(1 + \frac{j\omega}{1 \times 10^8}\right) \left(1 + \frac{j\omega}{5 \times 10^{10}}\right)} = A(\omega)e^{j\varphi(\omega)}$$



作业8

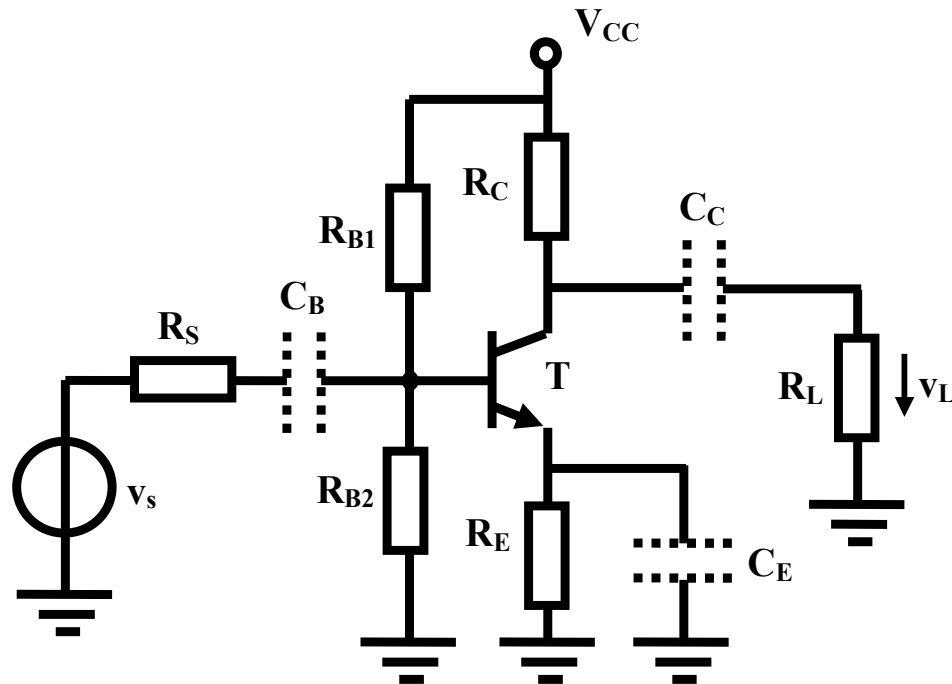
(练习8.3.24) 如图所示, 这是一个晶体管放大器电路。已知电源电压 $V_{CC}=12V$, 分压偏置电阻 $R_{B1}=56k\Omega$, $R_{B2}=10k\Omega$, 集电极直流负载电阻 $R_C=5.6k\Omega$, 发射极串联负反馈电阻 $R_E=1k\Omega$, 信源内阻 $R_S=100\Omega$, 负载电阻 $R_L=6.2k\Omega$ 。NPN-BJT 晶体管的厄利电压为 $V_A=100V$, 电流增益为 $\beta=300$ 。图中三个电容为 $1\mu F$ 大电容, 直流分析时开路处理。

- 直流分析, 获得直流工作点;
- 获得直流工作点下的微分元件电路模型。交流分析时考虑晶体管的两个寄生电容, 假设在该直流工作点下, 晶体管的微分电容 $C_{be}=70pF$, $C_{bc}=2pF$, 同时考虑基极体电阻, 假设 $r_b=100\Omega$ 。
- 用结点电压法获得小信号分析电路方程
- (matlab选作) 分析该放大器小信号电压增益 $A_v=v_L/v_s$ 的幅频特性和相频特性。
- (matlab选作) 分别将三个电容 C_B 、 C_C 、 C_E 增加10倍, 根据电压增益幅频特性分析确认哪个电容对低端3dB频点起决定性作用?

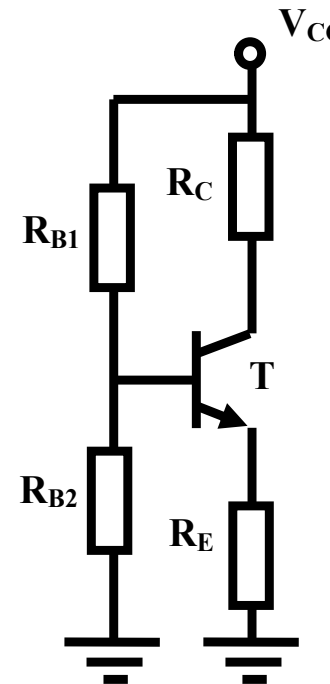


提示: 本练习参见例4.5.1, 首先获得直流工作点, 之后给出直流工作点上的局部线性化模型。微分电容获得也应在直流工作点计算基础上获得的微分元件。

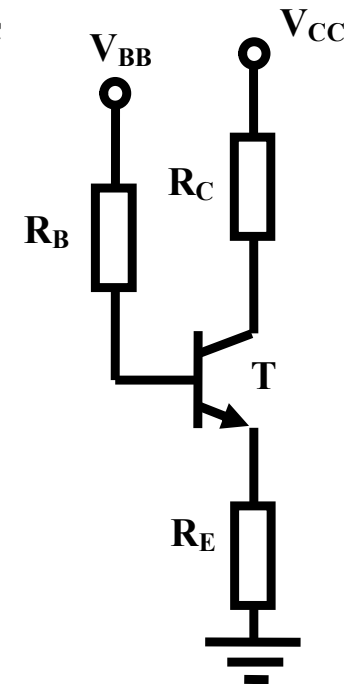
直流分析



耦合电容，直流开路



分压偏置电路



戴维南等效

$$V_{BB} = \frac{R_{B2}}{R_{B1} + R_{B2}} V_{CC} = \frac{10k}{56k + 10k} \times 12 = 1.82(V)$$

$$R_B = R_{B1} \parallel R_{B2} = \frac{10k \times 56k}{10k + 56k} = 8.48(k\Omega)$$

$$I_{B0} = \frac{V_{BB} - 0.7}{R_B + (\beta + 1)R_E} = \frac{1.82 - 0.7}{8.48k + 301 \times 1k} = 3.61(\mu A)$$

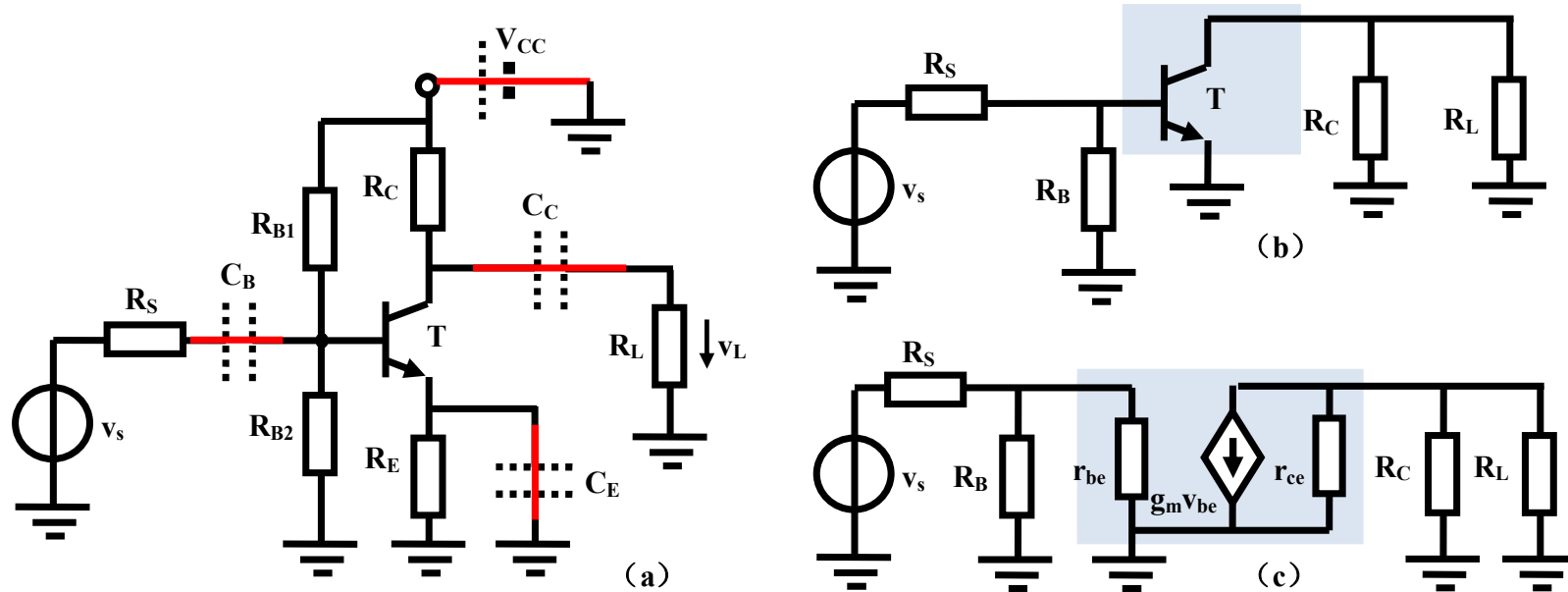
假设晶体管工作在恒流区

$$V_{CE0} = V_{CC} - \beta I_{B0} R_C - (\beta + 1) I_{B0} R_E = 12 - (300 \times 5.6k + 301 \times 1k) \times 3.61\mu = 4.84(V) > 0.2V$$

$$I_{C0} = \beta I_{B0} = 300 \times 3.61\mu A = 1.08mA$$

确认在晶体管确实工作在恒流区

交流小信号分析电路模型



保留交流激励源，剩余元件均采用其微分元件替代

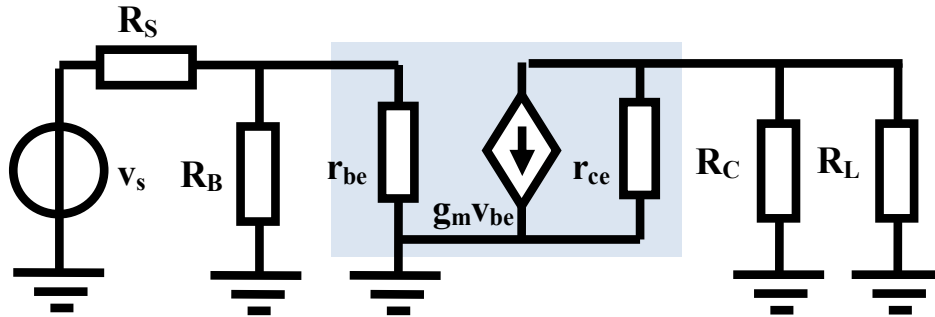
$$g_m = \frac{I_{C0}}{v_T} = \frac{1.08mA}{26mV} = 41.5mS$$

$$r_{be} = \beta \frac{1}{g_m} = 300 \times 24\Omega = 7.22k\Omega$$

$$r_{ce} = \frac{V_A}{I_{C0}} = \frac{100V}{1.08mA} = 92.6k\Omega$$

BJT直流工作点上的微分元件

分析中，能化简的尽量先化简

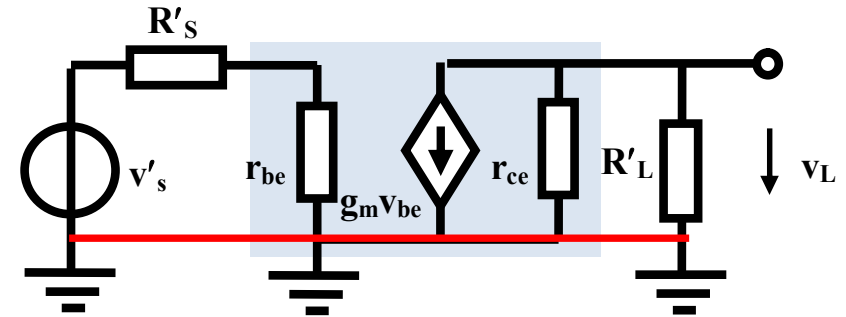


$$v'_S = \frac{R_B}{R_B + R_S} v_S = \frac{8.48k}{8.48k + 0.1k} v_S = 0.988v_S$$

$$R'_L = R_L \parallel R_C = \frac{6.2k \times 5.6k}{6.2k + 5.6k} = 2.94k\Omega$$

$$v_{be} = \frac{r_{be}}{r_{be} + R'_S} v'_S = \frac{7.22k}{7.22k + 0.0988k} \times 0.988v_S = 0.975v_S$$

$$v_L = -g_m v_{be} \times (r_{ce} \parallel R'_L) = -41.5m \times 0.975v_S \times 2.85k = -115v_S$$



$$R'_S = R_B \parallel R_S = \frac{0.1k \times 8.48k}{8.48k + 0.1k} v_S = 98.8\Omega$$

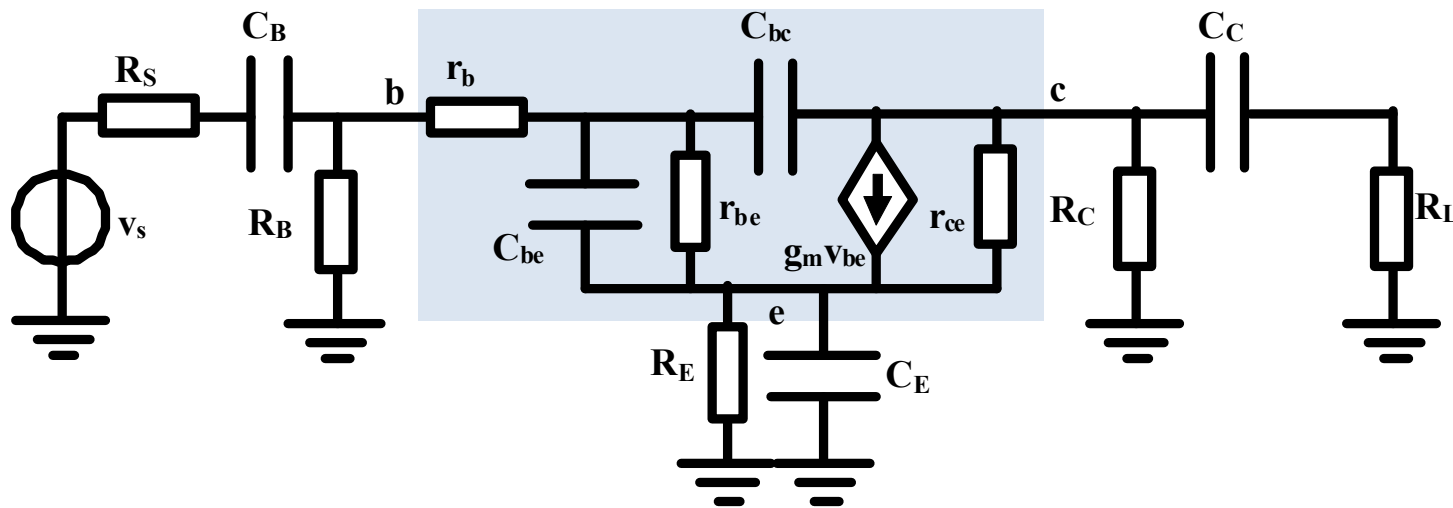
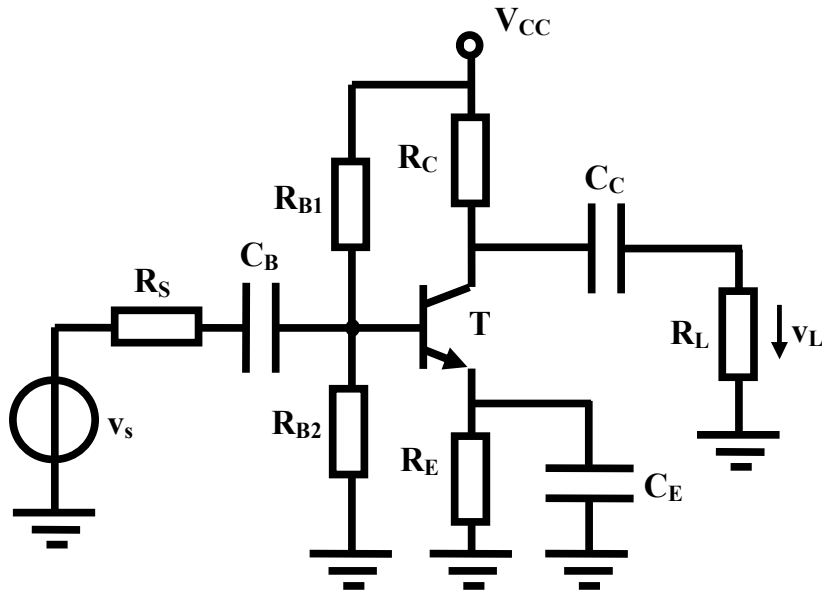
以确保表达式尽可能简单

$$A_v = \frac{v_L}{v_S} = -115$$

41.2dB的反相
电压放大

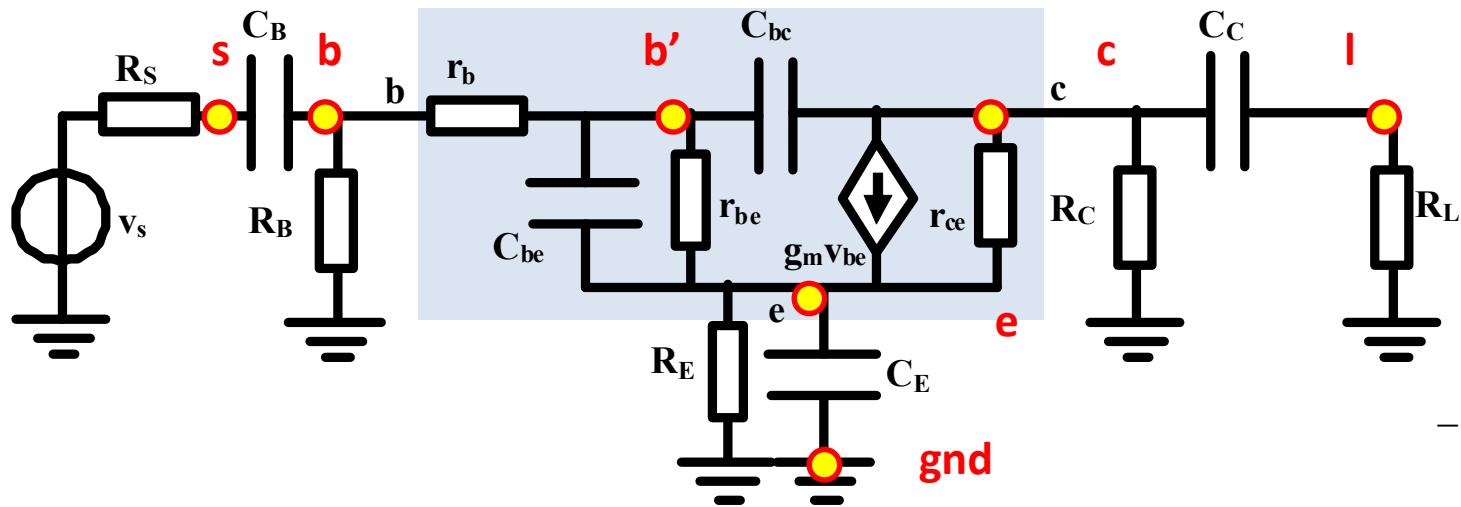
考虑电容的影响

r_b 在百欧姆量级以下，在电阻电路分析中，和 r_{be} 等微分电阻相比可以忽略不计，但在动态电路分析中，由于 r_b 和寄生电容 C_{be} 、 C_{bc} 之间存在耦合关系，直接影响晶体管放大器在很高频率处的高频放大特性，因而高频电路模型中往往考虑 r_b 在内，低频端其影响则可忽略



	s	b	b'	e	c	l
s	$G_S + j\omega C_B$	$-j\omega C_B$				
b	$-j\omega C_B$	$j\omega C_B + G_B + g_b$	$-g_b$			
b'		$-g_b$	$g_b + g_{be} + j\omega C_{be} + j\omega C_{bc}$	$-g_{be} - j\omega C_{be}$	$-j\omega C_{bc}$	
e			$-g_{be} - j\omega C_{be}$	$g_{be} + j\omega C_{be} + G_E + j\omega C_E + g_{ce}$	$-g_{ce}$	
c			$-j\omega C_{bc}$	$-g_{ce}$	$g_{ce} + G_C + j\omega C_C + j\omega C_{bc}$	$-j\omega C_C$
l					$-j\omega C_C$	$j\omega C_C + G_L$

结点电压法



$G_S \dot{V}_S$	s
0	b
0	b'
$g_m (\dot{V}_{b'} - \dot{V}_e)$	e
$-g_m (\dot{V}_{b'} - \dot{V}_e)$	c
0	l

s	b	b'	e	c	l	
$G_S + j\omega C_B$	$-j\omega C_B$					s $G_S \dot{V}_S$
$-j\omega C_B$	$j\omega C_B + G_B + g_b$	$-g_b$				b 0
	$-g_b$	$g_b + g_{be} + j\omega C_{be} + j\omega C_{bc}$	$-g_{be} - j\omega C_{be}$	$-j\omega C_{bc}$		b' 0
		$-g_{be} - j\omega C_{be}$	$g_{be} + j\omega C_{be} + G_E + j\omega C_E + g_{ce}$	$-g_{ce}$		e $g_m(\dot{V}_{b'} - \dot{V}_e)$
		$-j\omega C_{bc}$	$-g_{ce}$	$g_{ce} + G_C + j\omega C_C + j\omega C_{bc}$	$-j\omega C_C$	c $-g_m(\dot{V}_{b'} - \dot{V}_e)$
				$-j\omega C_C$	$j\omega C_C + G_L$	l 0

结点电压法

$G_S + j\omega C_B$	$-j\omega C_B$					s $G_S \dot{V}_S$
$-j\omega C_B$	$j\omega C_B + G_B + g_b$	$-g_b$				b 0
	$-g_b$	$g_b + g_{be} + j\omega C_{be} + j\omega C_{bc}$	$-g_{be} - j\omega C_{be}$	$-j\omega C_{bc}$		b' 0
		$-g_{be} - j\omega C_{be} - g_m$	$g_{be} + j\omega C_{be} + G_E + j\omega C_E + g_{ce} + g_m$	$-g_{ce}$		e 0
		$g_m - j\omega C_{bc}$	$-g_{ce} - g_m$	$g_{ce} + G_C + j\omega C_C + j\omega C_{bc}$	$-j\omega C_C$	c 0
				$-j\omega C_C$	$j\omega C_C + G_L$	l 0

Matlab程序： 初值设置

- `clear all`
- `gm=41.5E-3;` %晶体管小信号交流电路模型
- `rbe=7.22E3;` 直流工作点上的微分元件，第四章分析结果
- `rce=92.6E3;`

- `RB=1/(1/56+1/10)*1E3;` %基极偏置电阻
- `RE=1E3;` %负反馈电阻
- `RC=5.6E3;` %集电极偏置电阻

- `rb=100;`
- `Cbe=70E-12;` 直流工作点上的微分元件，本讲义未讨论如何求取
- `Cbc=2E-12;`

- `CB=1E-6;` %耦合电容
- `CC=1E-6;`
- `CE=1E-6;` %旁路电容

- `RS=100;` %信源内阻
- `RL=6.2E3;` %负载电阻

结点电压法

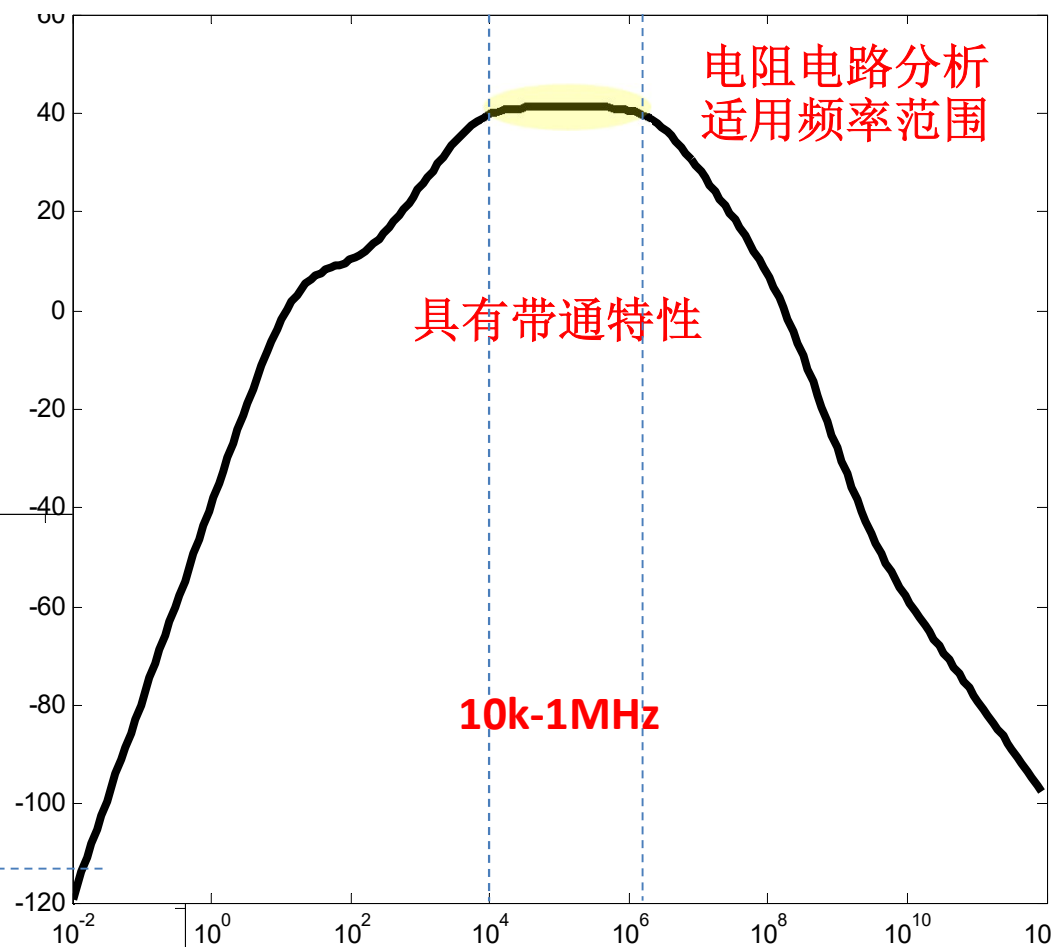
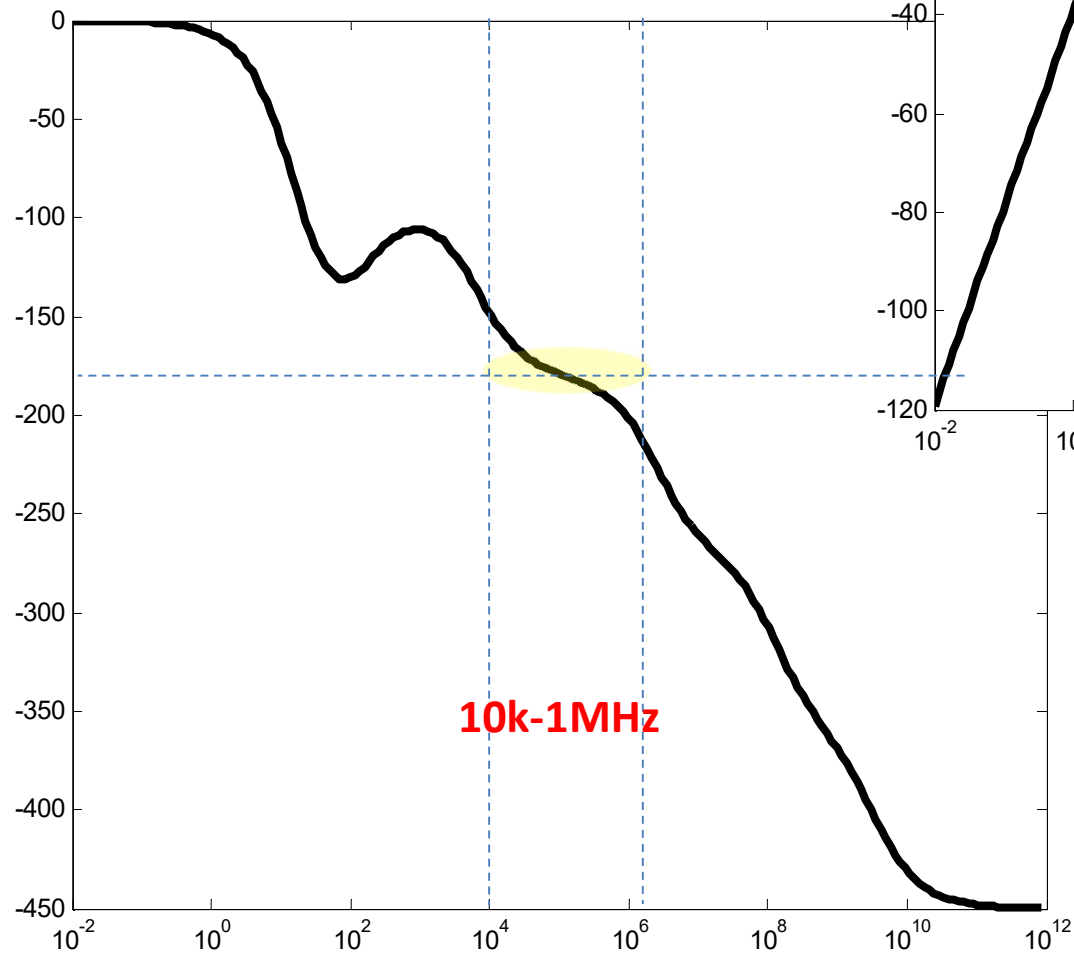
```
• freqstart=0.01; %起始频点0.01Hz
• freqstop=10E11; %终止频点1000GHz
• freqnum=200; %考察该频率范围内的200个频点
• freqstep=10^(log10(freqstop/freqstart)/freqnum); %等比数列比值系数

• freq=freqstart/freqstep;
• for k=1:freqnum
•     freq=freq*freqstep;
•
•     w=2*pi*freq;
•     s=i*w;
•
•     A=[1/RS+s*CB -s*CB 0 0 0 0;
•       -s*CB s*CB+1/RB+1/rb -1/rb 0 0 0;
•       0 -1/rb 1/rb+1/rbe+s*Cbe+s*Cbc -1/rbe-s*Cbe -s*Cbc 0;
•       0 0 -1/rbe-s*Cbe-gm 1/rbe+s*Cbe+1/RE+s*CE+1/rce+gm -1/rce 0;
•       0 0 gm-s*Cbc -gm-1/rce s*Cbc+1/rce+1/RC+s*CC -s*CC;
•       0 0 0 0 -s*CC s*CC+1/RL];
•
•     V=inv(A)*[1/RS;0;0;0;0;0]; %结点电压法求解
•
•     f(k)=freq;
•     VL=V(6); %假定VS=1
•     absVL(k)=20*log10(abs(VL));
•     angleVL(k)=angle(VL)/pi*180;
•
• end
```

频率轴是对数坐标，对数坐标下，等比数列是均匀的

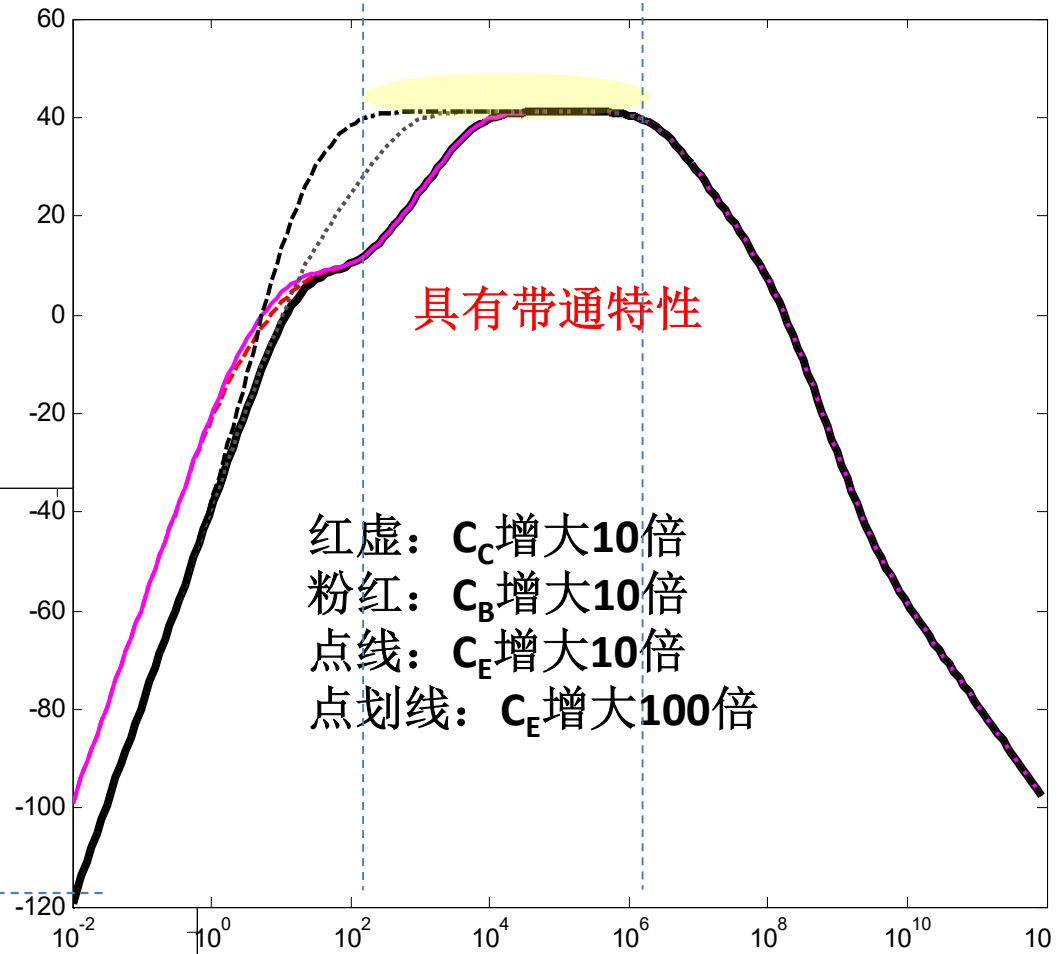
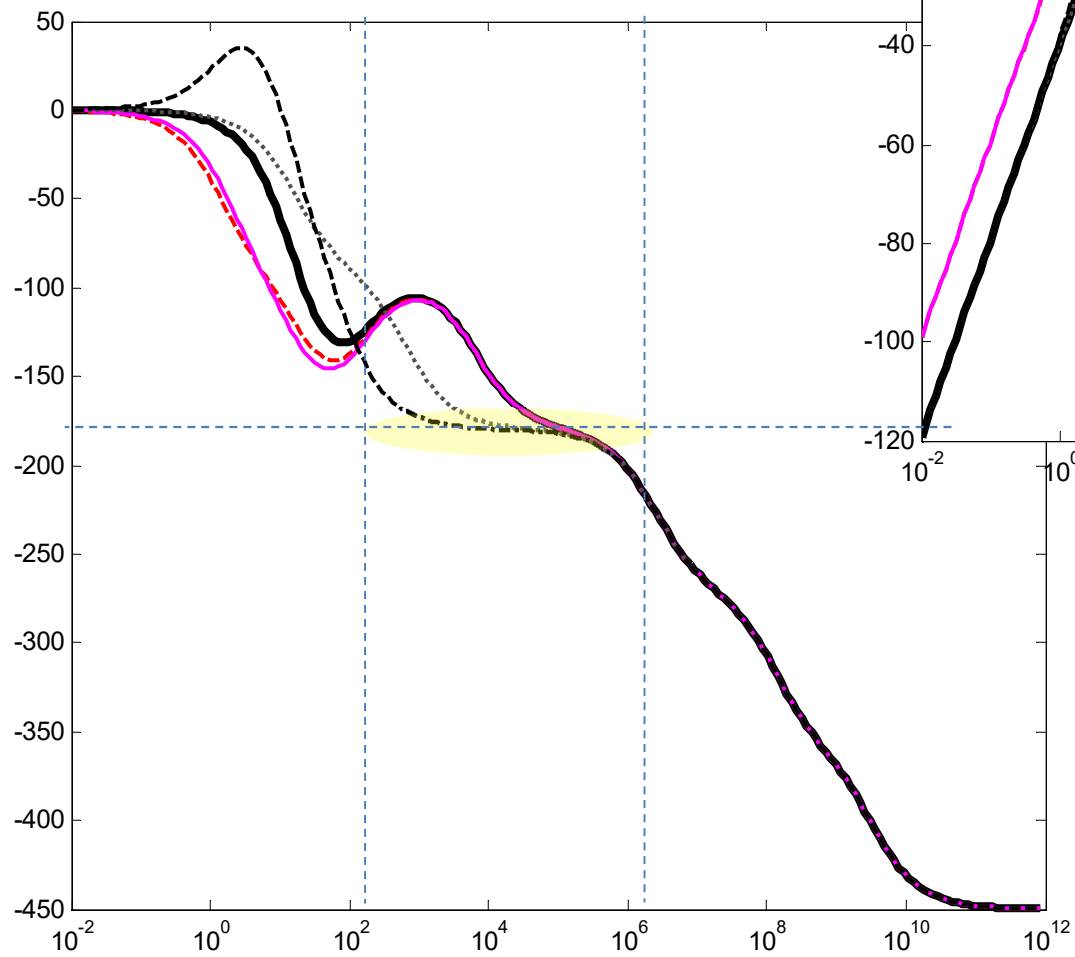
figure(1)
plot(f,absVL,'k')

figure(2)
plot(f,angleVL,'k')



结果输出

旁路电容 C_E 决定了低频端3dB频点



具有带通特性

- 红虚: C_C 增大10倍
- 粉红: C_B 增大10倍
- 点线: C_E 增大10倍
- 点划线: C_E 增大100倍

C_B 、 C_C 、 C_E
分别增大10倍

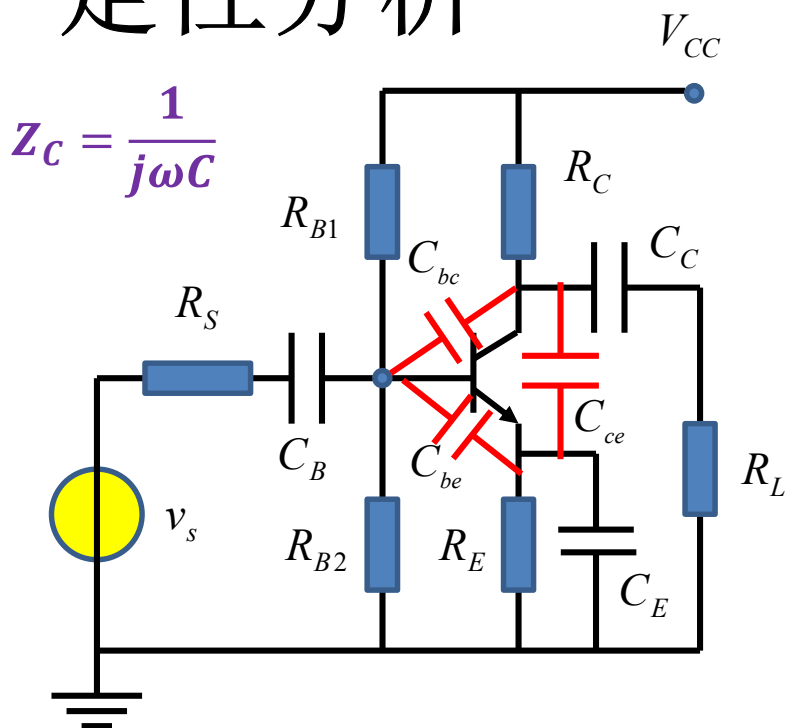
晶体管放大器带宽形成机制分析

- 耦合电容、旁路电容的影响
 - 形成高通特性
- 寄生电容的影响
 - 形成低通特性
- 共同形成带通特性

实际实验时，可通过实测确认验证下述分析
若有兴趣做仿真实验，亦可确认如下结论

电容影响的定性分析

$$Z_C = \frac{1}{j\omega C}$$



位于中间频段时

C_B 、 C_C 、 C_E 短路

C_{be} 、 C_{ce} 、 C_{bc} 开路

电路中不考虑电容效应，为上学期的电阻电路：**CE组态放大器电路**

频率很低时

C_B 开路，信号无法通过

C_C 开路，信号无法通过

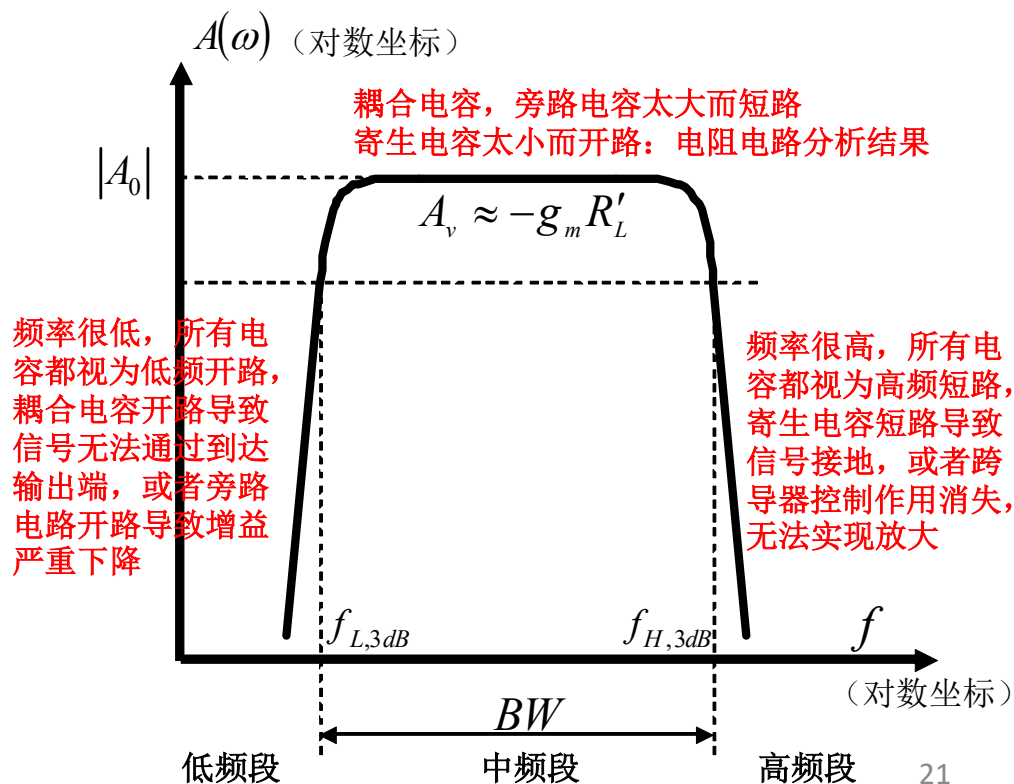
C_E 开路，信号增益很小

频率极高时

C_{be} 短路，输入端信号接地，信号被短接于地

C_{ce} 短路，输出端信号接地，信号被短接于地

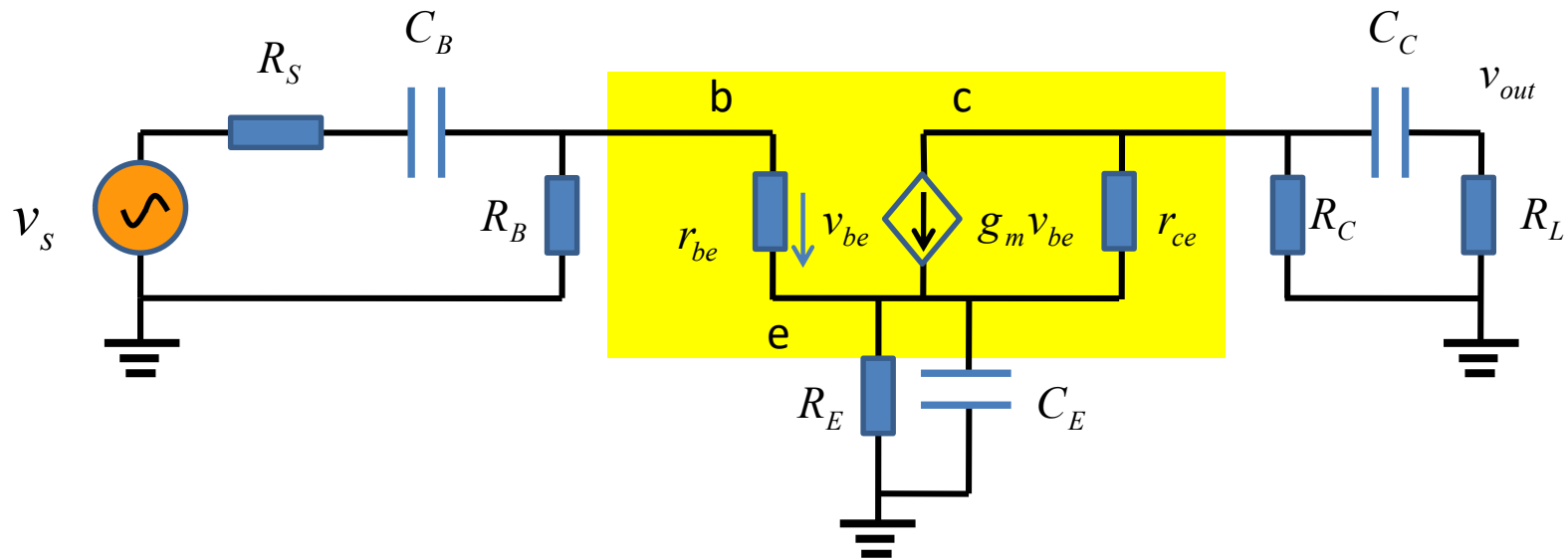
C_{bc} 短路，跨导器作用消失，不具放大作用



耦合电容影响的定量简化分析

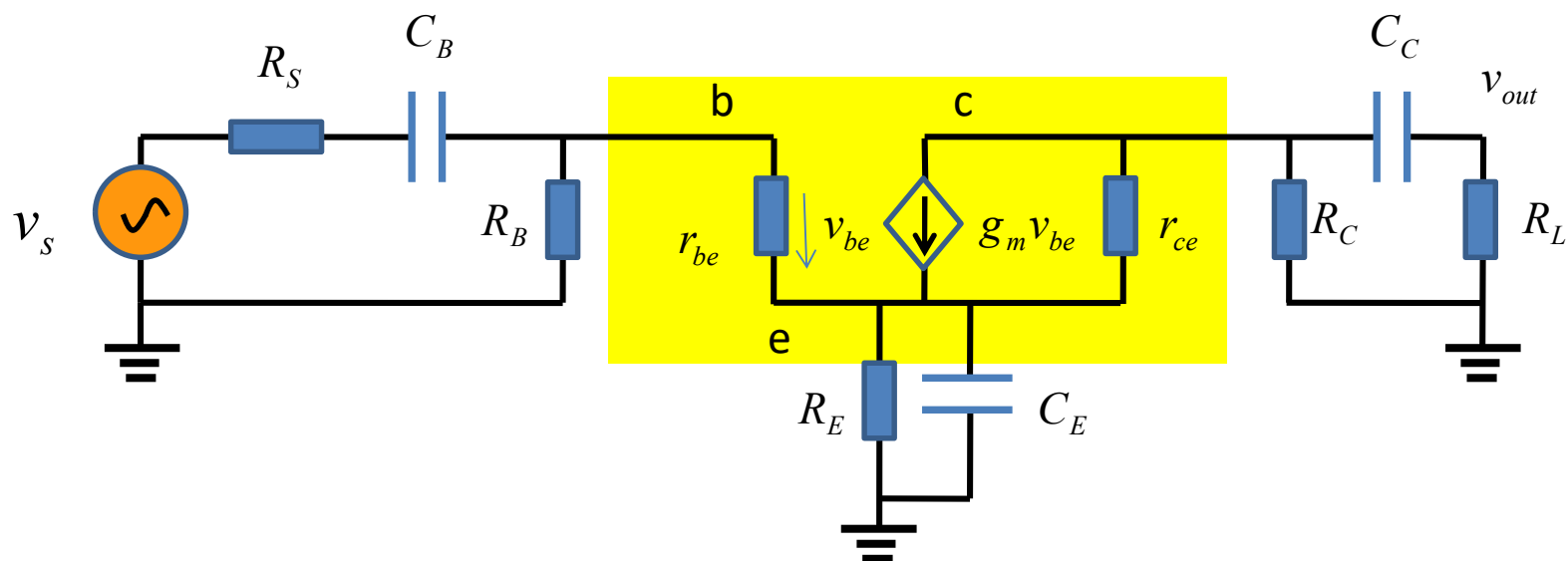
交流等效电路：带外部电容

低频端，由于寄生电容过小，视为直流开路，不起作用，电路模型中未画
 r_b 和 r_{be} 比太小，低频端影响很小，下面低频处分析 r_b 也暂时被忽略不计

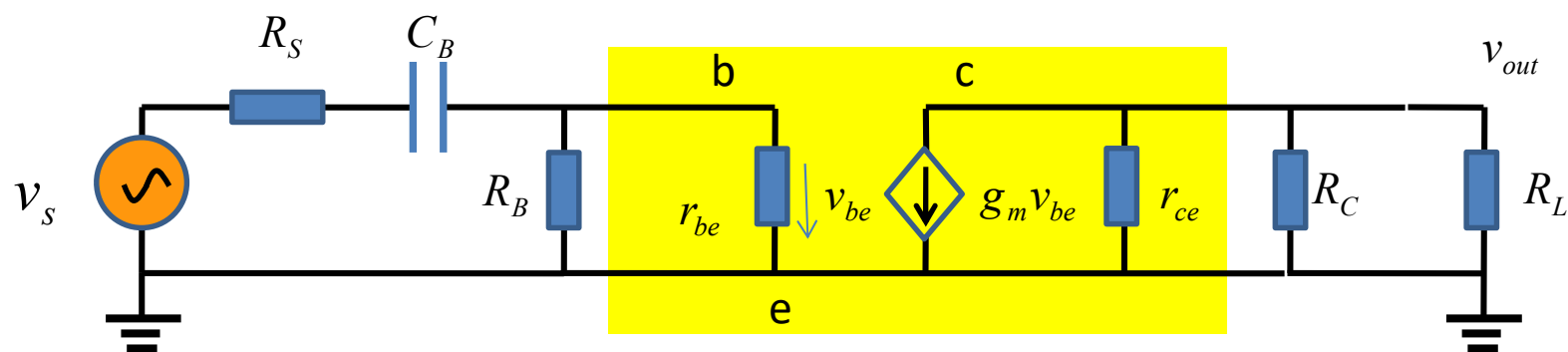


三阶系统

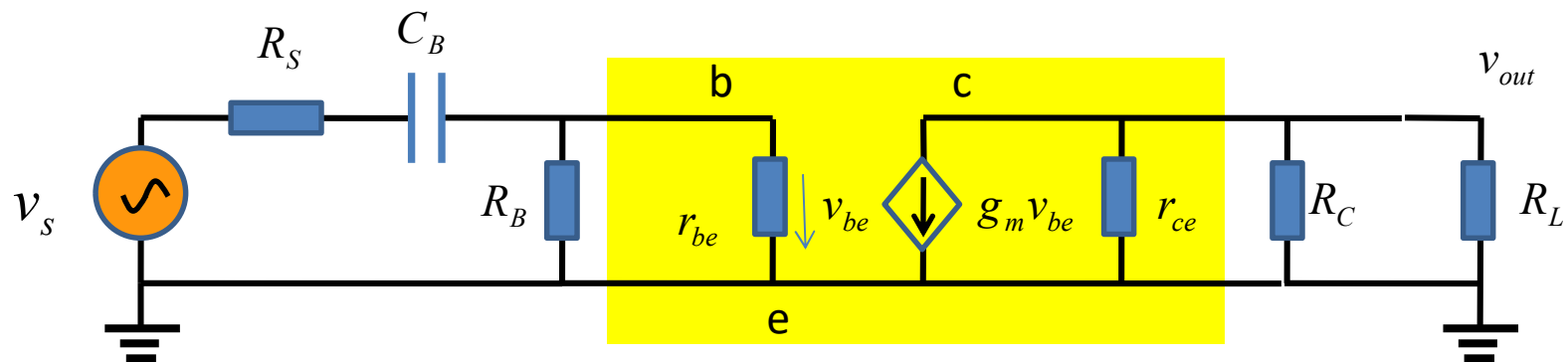
简化分析：单独考虑每个电容独自的影响



假设 C_E 、 C_C 很大，在 C_B 被视为交流短路前，这两个电容早就短路了

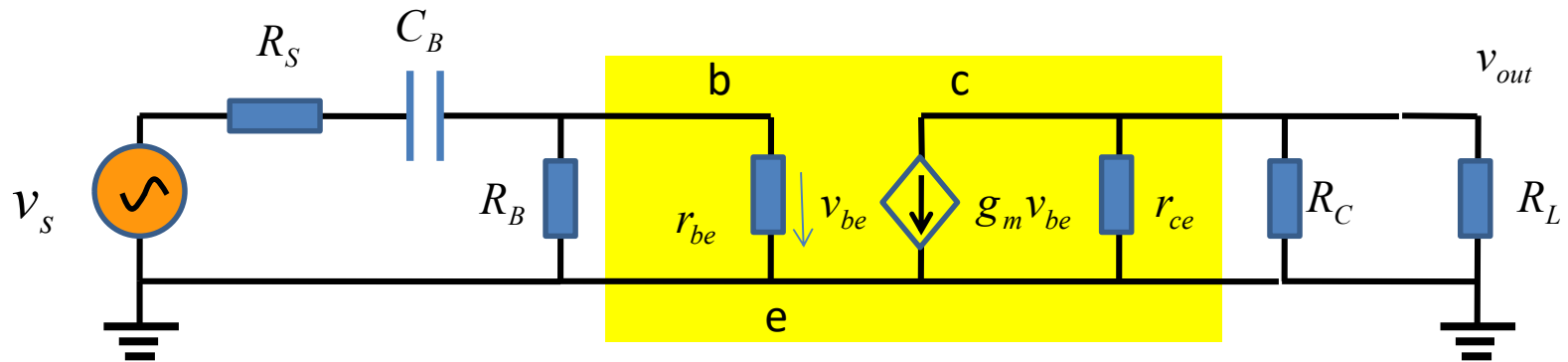


输入耦合电容的影响



$$\dot{V}_{be} = \frac{R_B \parallel r_{be}}{R_B \parallel r_{be} + R_S + \frac{1}{j\omega C_B}} \dot{V}_S \quad \dot{V}_{out} = -g_m \dot{V}_{be} (R_L \parallel R_C \parallel r_{ce})$$

$$\frac{\dot{V}_{out}}{\dot{V}_S} = -g_m (R_L \parallel R_C \parallel r_{ce}) \frac{R_B \parallel r_{be}}{R_B \parallel r_{be} + R_S + \frac{1}{j\omega C_B}}$$



$$A_v = \frac{\dot{V}_{out}}{\dot{V}_S} = -g_m (R_L \parallel R_C \parallel r_{ce}) \frac{R_B \parallel r_{be}}{R_B \parallel r_{be} + R_S + \frac{1}{j\omega C_B}}$$

$$= -g_m R'_L \frac{R_B \parallel r_{be}}{R_B \parallel r_{be} + R_S} \frac{1}{1 + \frac{1}{j\omega\tau_B}} = A_0 \frac{j\omega\tau_B}{1 + j\omega\tau_B}$$

不要前面的推导过程，闭着眼睛就可以写出这个表达式来

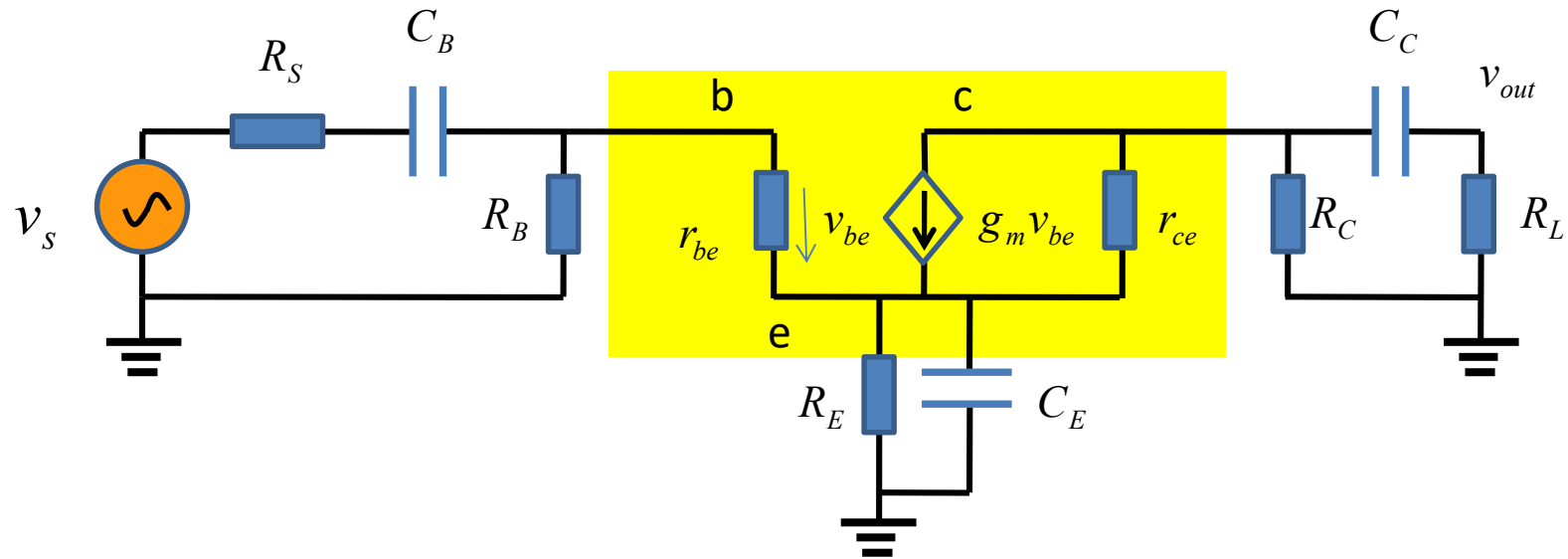
$$\tau_B = (R_B \parallel r_{be} + R_S) C_B$$

$$f > f_{0B} = \frac{1}{2\pi C_B (R_B \parallel r_{be} + R_S)}$$

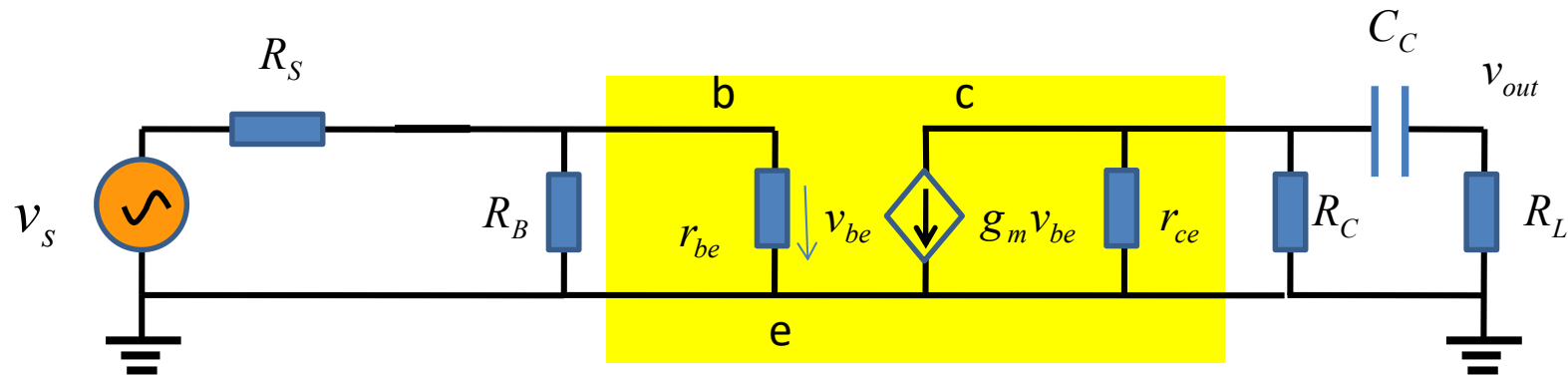
$$\omega_{0B} = \frac{1}{\tau_B} = \frac{1}{C_B (R_B \parallel r_{be} + R_S)}$$

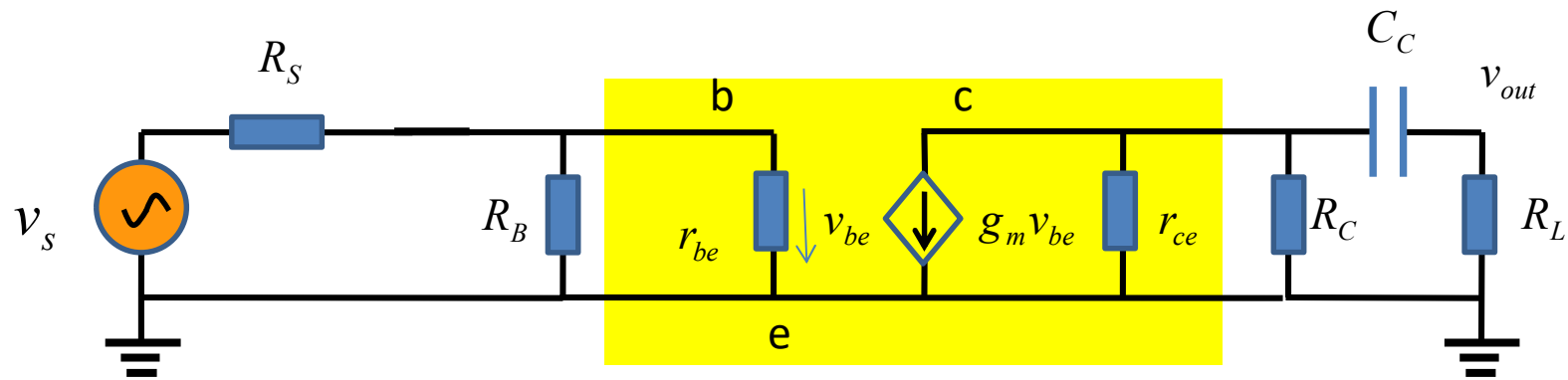
则可认为进入高频短路区
频率界点由电容和电容两端的电阻共同决定

输出耦合电容单独的影响



假设 C_E 、 C_B 很大，在 C_C 被视为交流短路前，这两个电容早就短路了



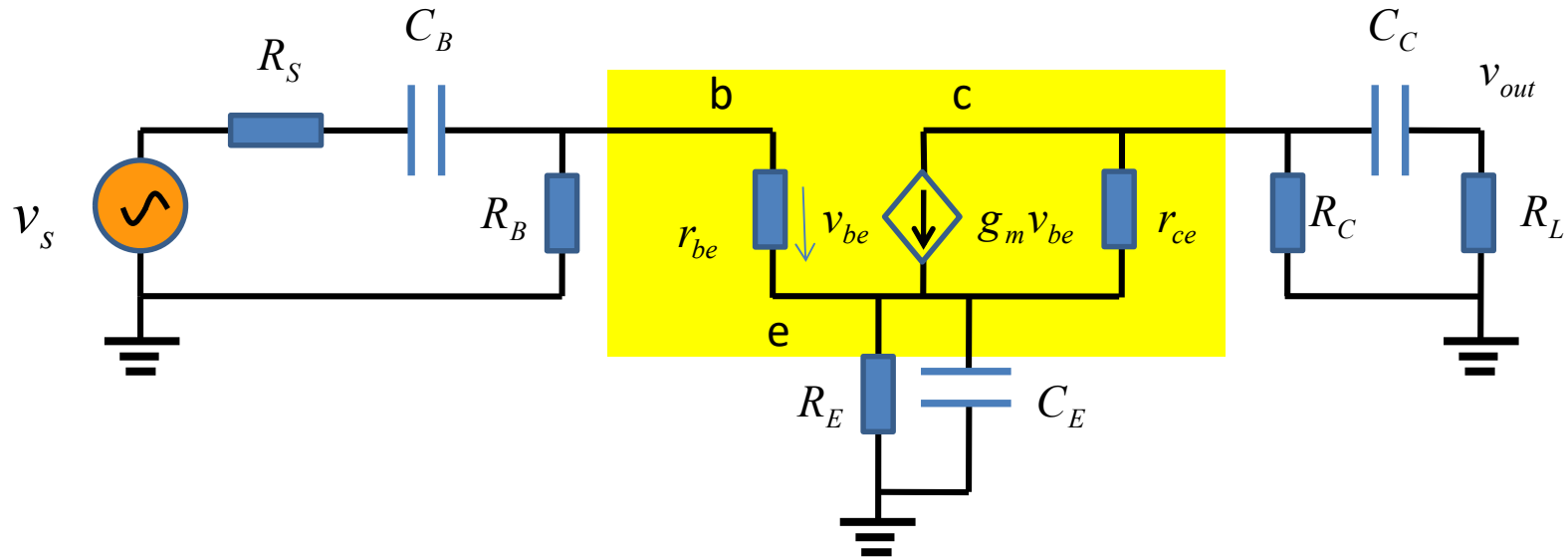


$$A_v = \frac{\dot{V}_{out}}{\dot{V}_s} = \dots = A_0 \frac{j\omega\tau_C}{1 + j\omega\tau_C}$$

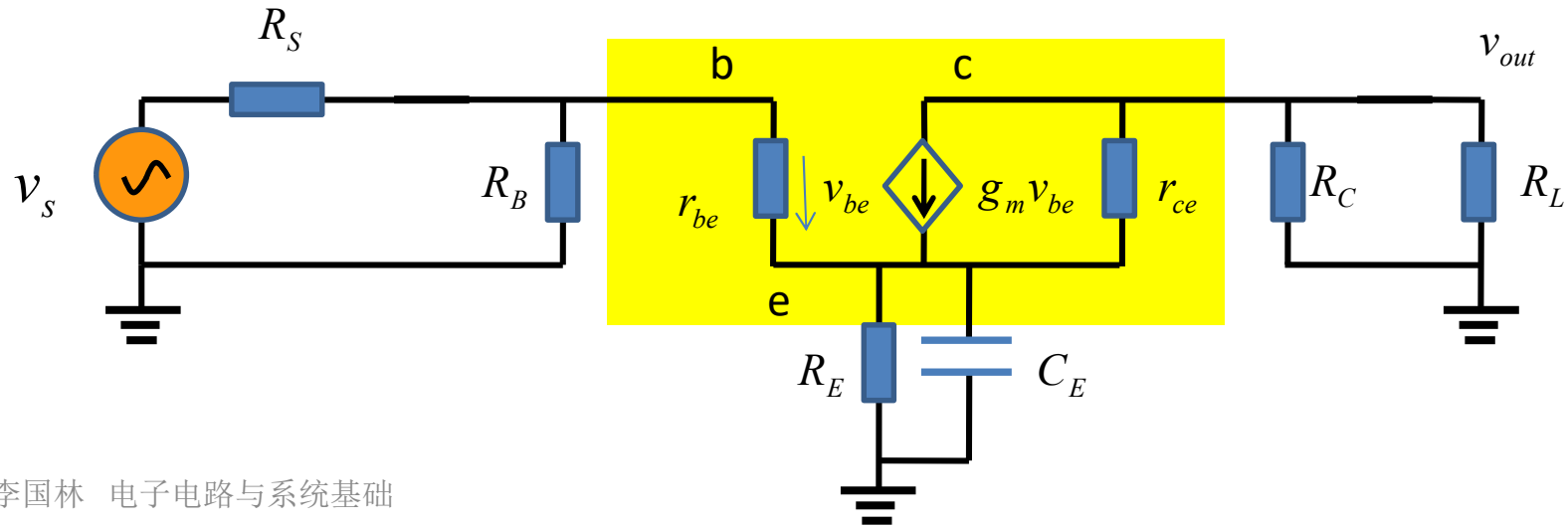
$$f > f_{0C} = \frac{1}{2\pi\tau_C} = \frac{1}{2\pi C_C (R_C \parallel r_{ce} + R_L)}$$

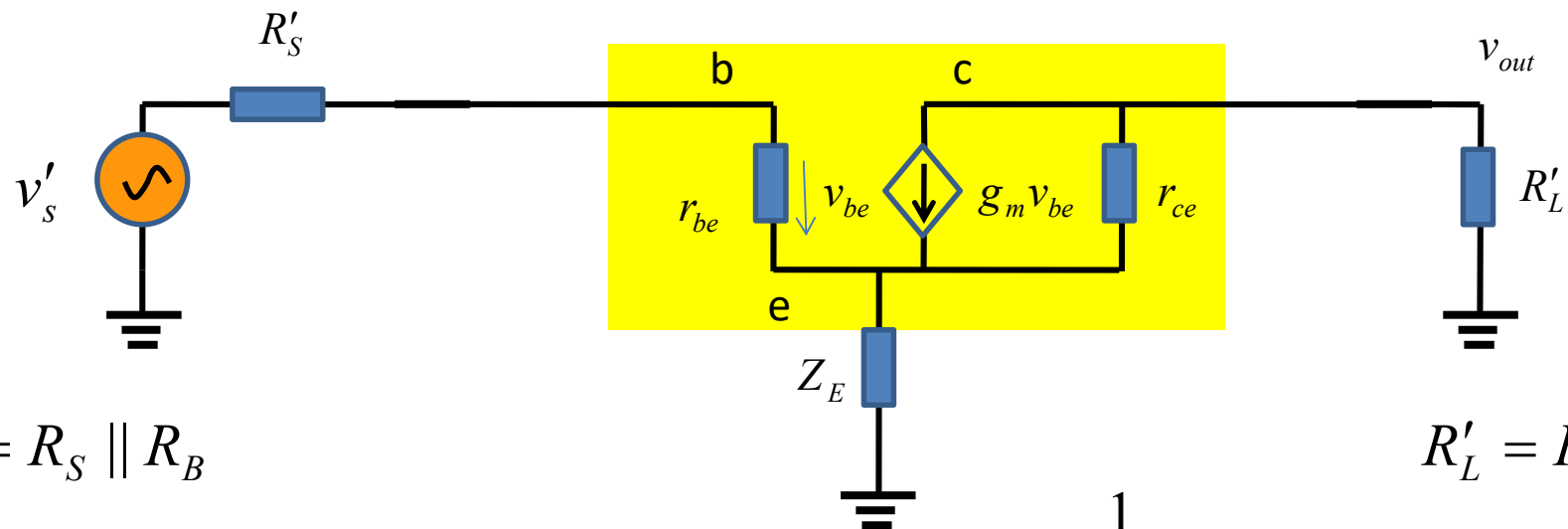
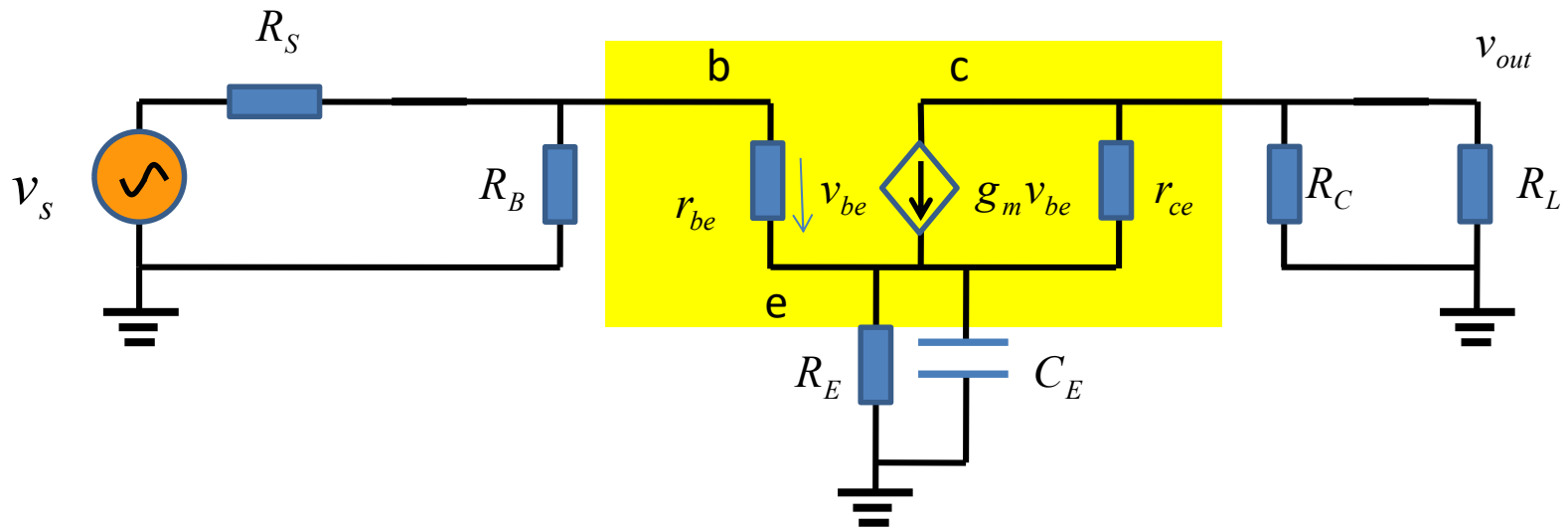
则可认为进入高频短路区
频率界点由电容和电容两端的电阻共同决定

旁路电容单独的影响



假设 C_C 、 C_B 很大，在 C_E 被视为交流短路前，这两个电容早就短路了





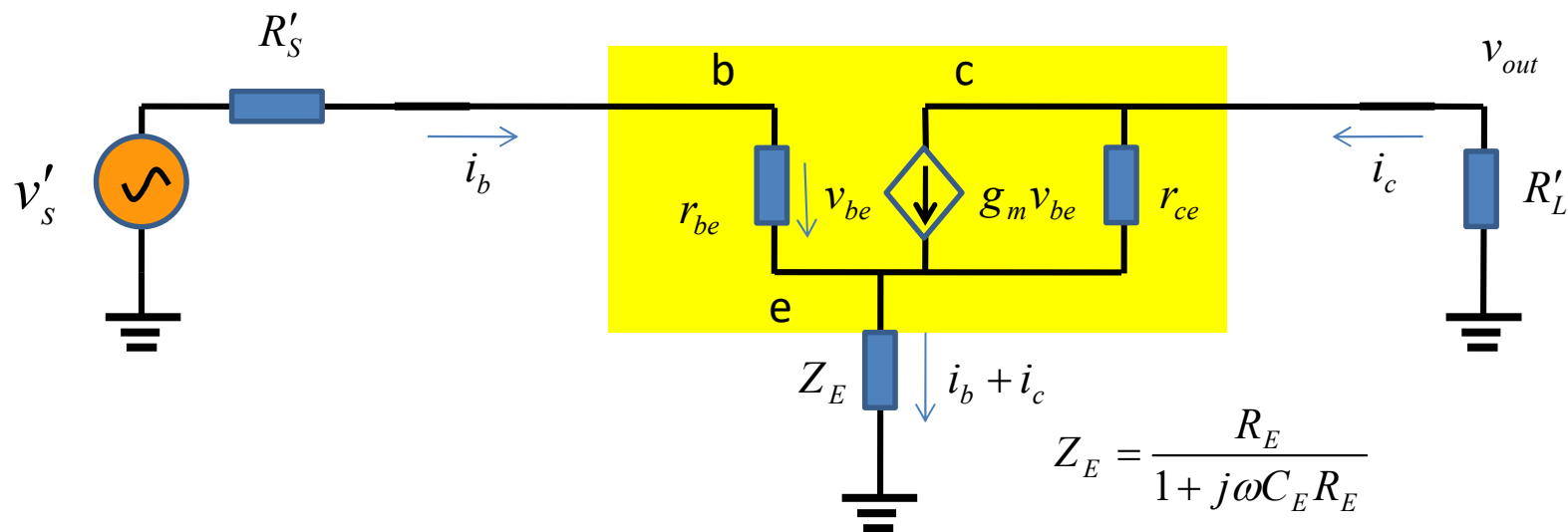
$$R'_S = R_S \parallel R_B$$

$$R'_L = R_L \parallel R_C$$

$$v'_s = v_s \frac{R_B}{R_S + R_B}$$

$$Z_E = R_E \parallel C_E = \frac{R_E \frac{1}{j\omega C_E}}{R_E + \frac{1}{j\omega C_E}} = \frac{R_E}{1 + j\omega C_E R_E}$$

按负反馈原理分析



$$g_{mf} = \frac{g_m}{1 + g_m Z_E} = \frac{g_m}{1 + g_m \frac{R_E}{1 + j\omega R_E C_E}} = \frac{g_m (1 + j\omega R_E C_E)}{1 + g_m R_E + j\omega R_E C_E}$$

$$= \frac{g_m}{1 + g_m R_E} \frac{(1 + j\omega R_E C_E)}{1 + j\omega \frac{R_E}{1 + g_m R_E} C_E}$$

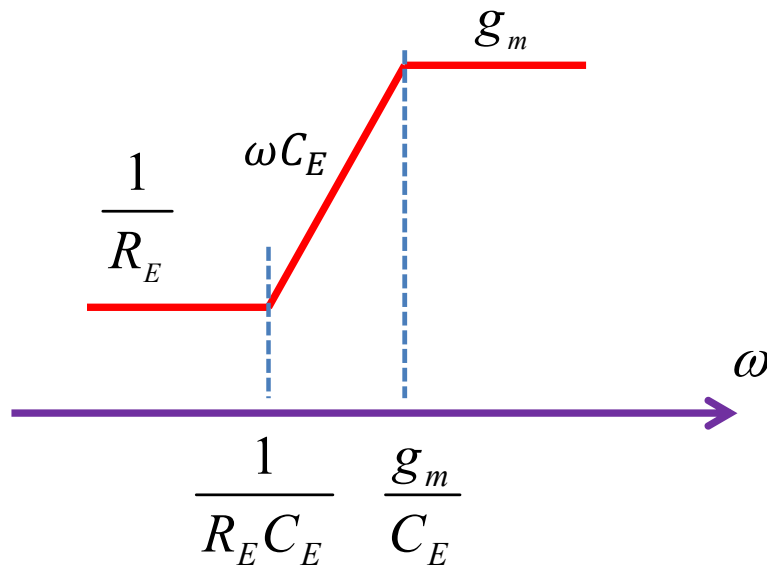
电阻电路分析结果

旁路电容在高频端的影响

何时进入交流短路区

$$g_{mf} = \frac{g_m}{1 + g_m Z_E} = \frac{g_m}{1 + g_m R_E} \frac{(1 + j\omega R_E C_E)}{1 + j\omega \frac{R_E}{1 + g_m R_E} C_E}$$

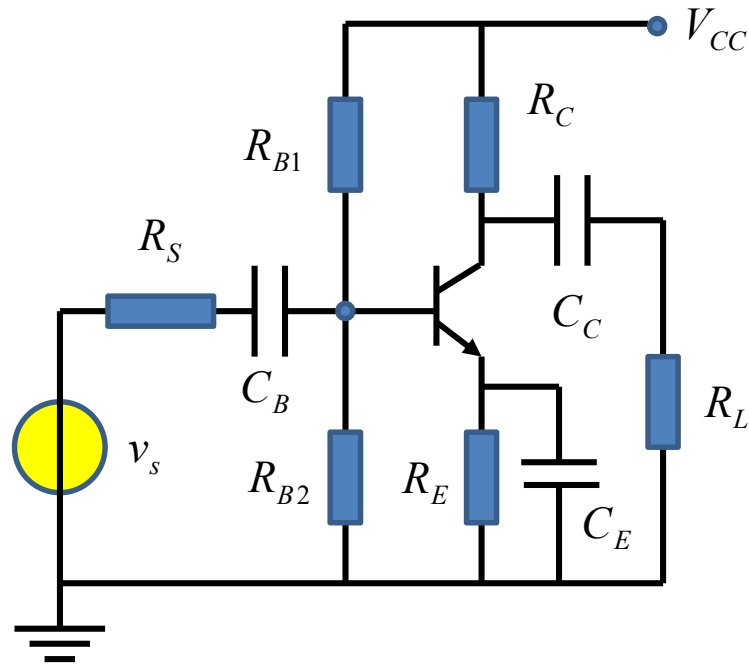
$$g_{mR_E} \gg 1 \quad \frac{1}{R_E} \frac{1 + j\omega R_E C_E}{1 + j\omega \frac{C_E}{g_m}} \approx \begin{cases} \frac{1}{R_E} & \omega < \frac{1}{R_E C_E} \\ \frac{1}{R_E} (j\omega R_E C_E) & \frac{1}{R_E C_E} < \omega < \frac{g_m}{C_E} \\ g_m & \omega > \frac{g_m}{C_E} \end{cases}$$



当射极旁路电容的电抗小于射极看入电阻时，旁路电容可视为短接于地

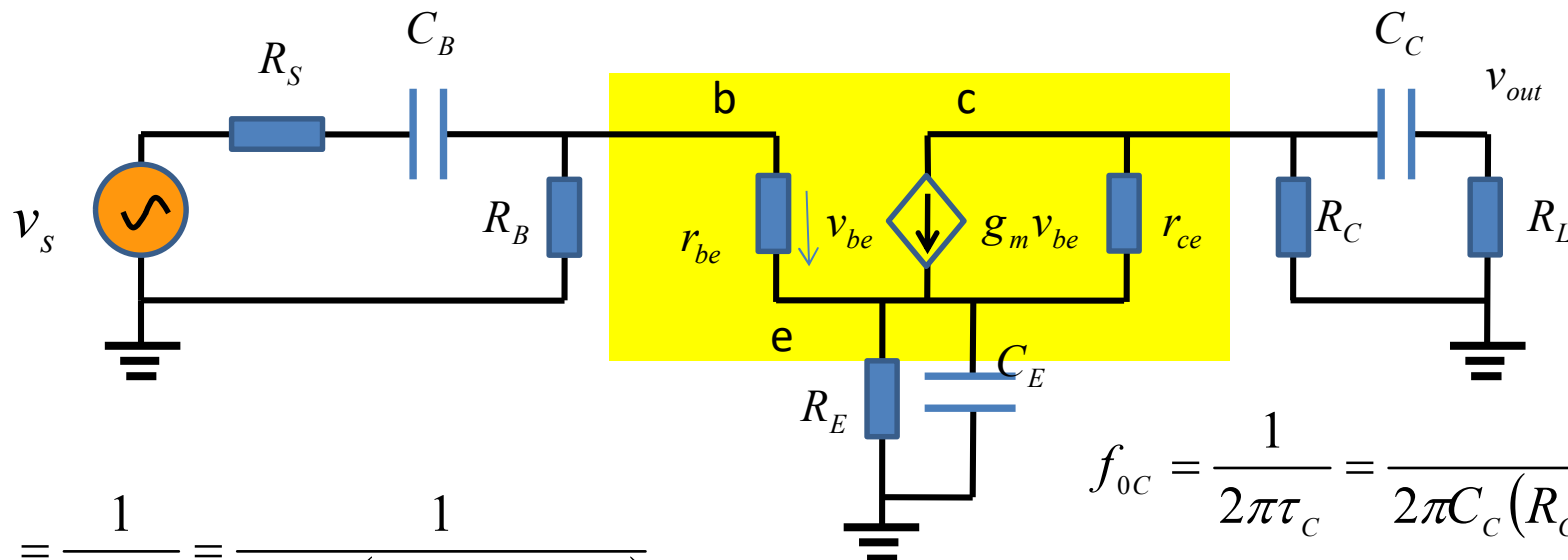
$$\omega > \omega_{0C} = \frac{1}{r_{ine} C_E} \approx \frac{g_m}{C_E}$$

低端3dB频点 短路时间常数



$f > f_{0B}, f_{0C}, f_{0E}$ 进入中频频段

$$f_{l,3dB} \approx f_{0B} + f_{0C} + f_{0E} \quad \text{粗略估计 不精确}$$

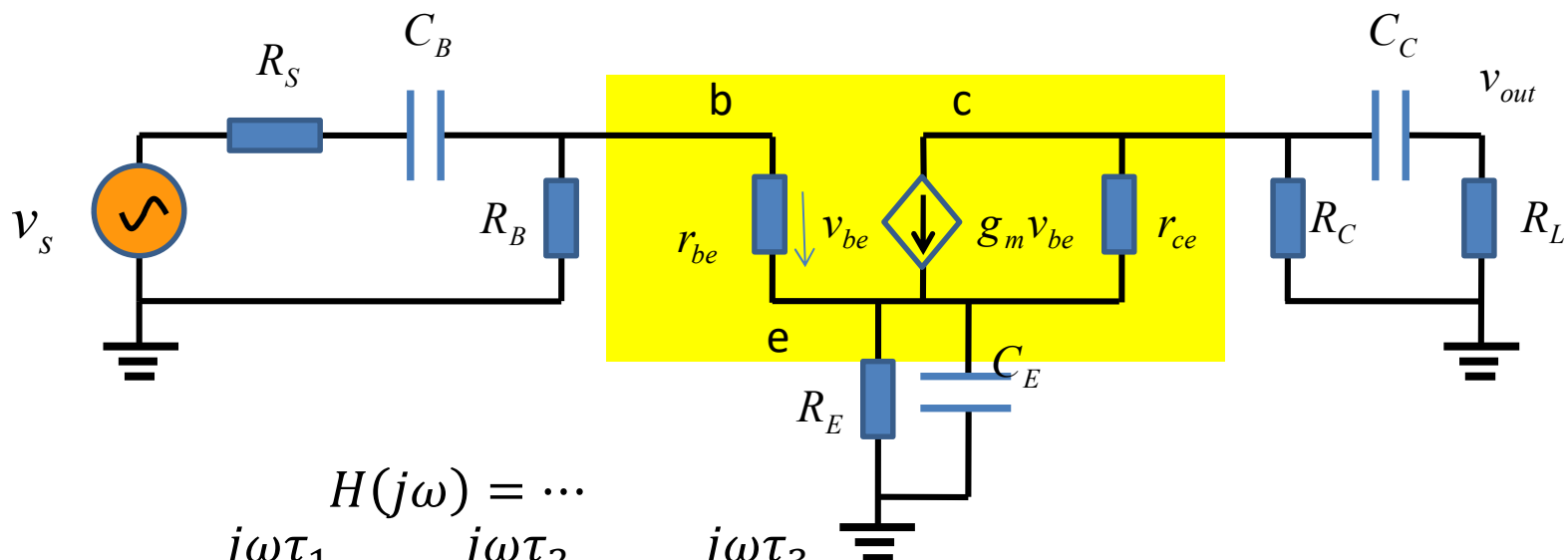


$$f_{0B} = \frac{1}{2\pi\tau_B} = \frac{1}{2\pi C_B (R_B \parallel r_{be} + R_s)}$$

$$f_{0C} = \frac{1}{2\pi\tau_C} = \frac{1}{2\pi C_C (R_C \parallel r_{ce} + R_L)}$$

$$f_{0E} = \frac{1}{2\pi\tau_E} \approx \frac{g_m}{2\pi C_E}$$

如何把高阶高通当成一阶高通处理？



$$\begin{aligned}
 H(j\omega) &= \dots \\
 &\approx A_0 \frac{j\omega\tau_1}{1+j\omega\tau_1} \cdot \frac{j\omega\tau_2}{1+j\omega\tau_2} \cdot \frac{j\omega\tau_3}{1+j\omega\tau_3} \\
 &\approx A_0 \frac{1}{1+\frac{1}{j\omega\tau_1}} \cdot \frac{1}{1+\frac{1}{j\omega\tau_2}} \cdot \frac{1}{1+\frac{1}{j\omega\tau_3}}
 \end{aligned}$$

非真正传递函数，纯粹一个估计

$$\begin{aligned}
 &\approx A_0 \frac{1}{1 + \frac{1}{j\omega} \left(\frac{1}{\tau_1} + \frac{1}{\tau_2} + \frac{1}{\tau_3} \right) + \left(\frac{1}{j\omega} \right)^2 (\dots) + \left(\frac{1}{j\omega} \right)^3 (\dots)} \\
 &\approx A_0 \frac{1}{1 + \frac{1}{j\omega} \left(\frac{1}{\tau_1} + \frac{1}{\tau_2} + \frac{1}{\tau_3} \right)} \approx A_0 \frac{1}{1 + \frac{\omega_0}{j\omega}}
 \end{aligned}$$

关注转折频点附近后的高频端通带

$$\begin{aligned}
 f_{l,3dB} &= \frac{\omega_0}{2\pi} \\
 &\approx \frac{1}{2\pi\tau_1} + \frac{1}{2\pi\tau_2} + \frac{1}{2\pi\tau_3} \\
 &= f_{01} + f_{02} + f_{03}
 \end{aligned}$$

纯粹一个估计

$$\omega_0 \approx \frac{1}{\tau_1} + \frac{1}{\tau_2} + \frac{1}{\tau_3}$$

$$f_{0B} = \frac{1}{2\pi\tau_B} = \frac{1}{2\pi C_B (R_B \parallel r_{be} + R_S)} = \frac{1}{2\pi \times 1 \times 10^{-6} \times (8480 \parallel 7220 + 100)} = 40\text{Hz}$$

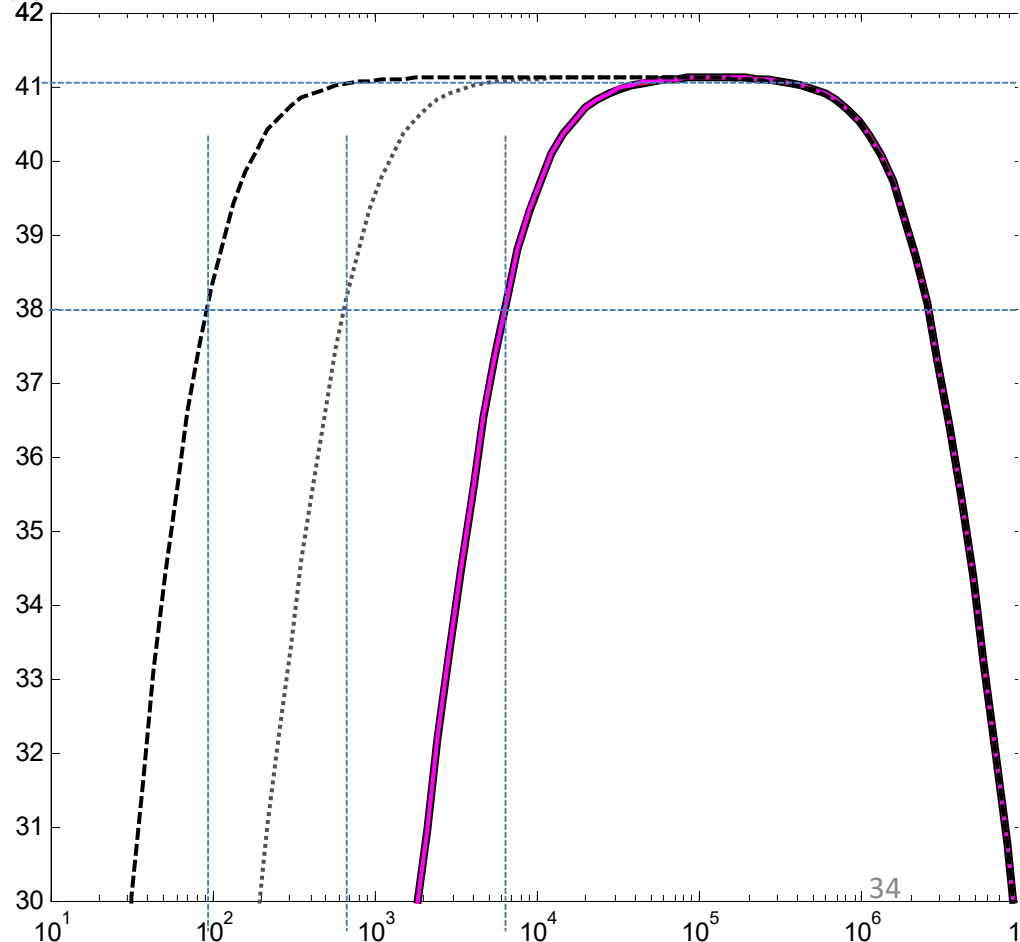
$$f_{0C} = \frac{1}{2\pi\tau_C} = \frac{1}{2\pi C_C (R_C \parallel r_{ce} + R_L)} = \frac{1}{2\pi \times 1 \times 10^{-6} \times (5600 \parallel 92600 + 6200)} = 14\text{Hz}$$

$$f_{0E} = \frac{1}{2\pi\tau_E} \approx \frac{g_m}{2\pi C_E} = \frac{41.5 \times 10^{-3}}{2\pi \times 1 \times 10^{-6}} = 6605\text{Hz}$$

三者差别越大，估计越准确

$$f_{l,3dB} \approx f_{0B} + f_{0C} + f_{0E} \\ = 6659\text{Hz}, 700\text{Hz}, 120\text{Hz}$$

低端3dB频点估算

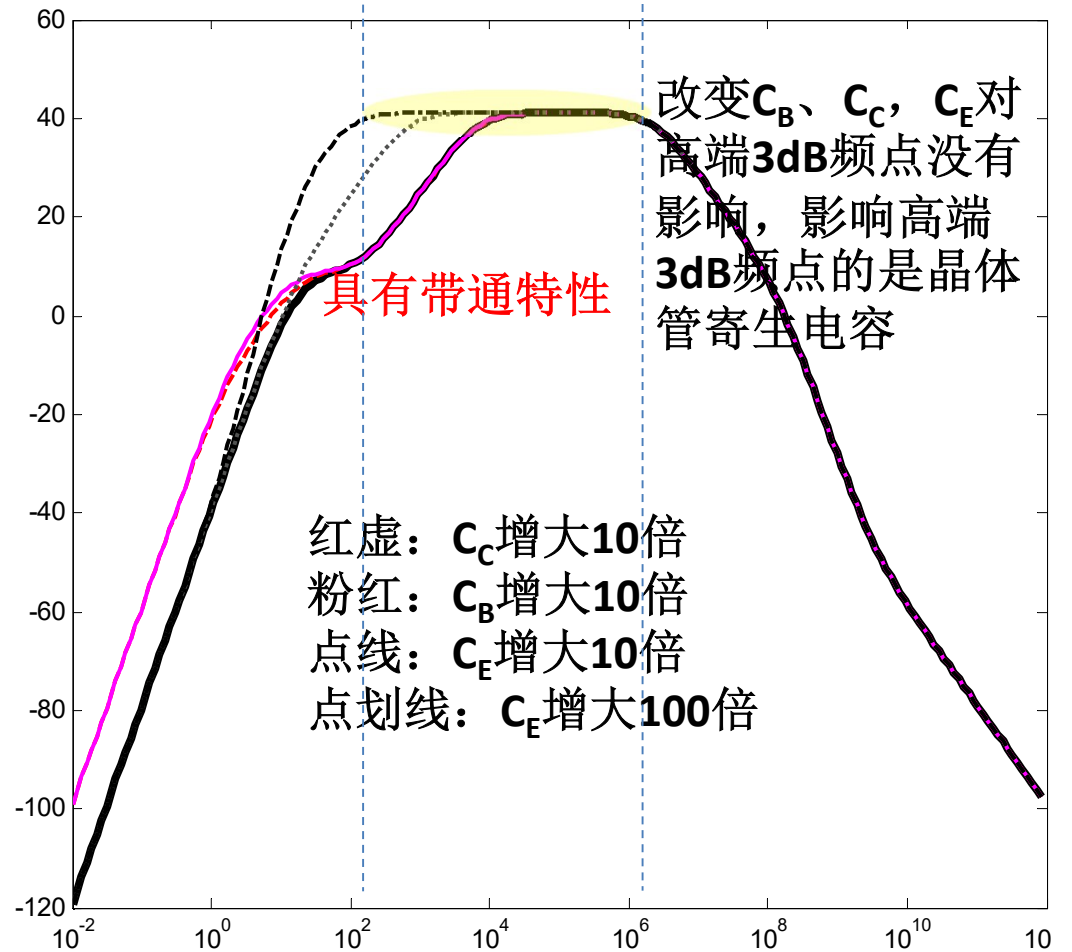
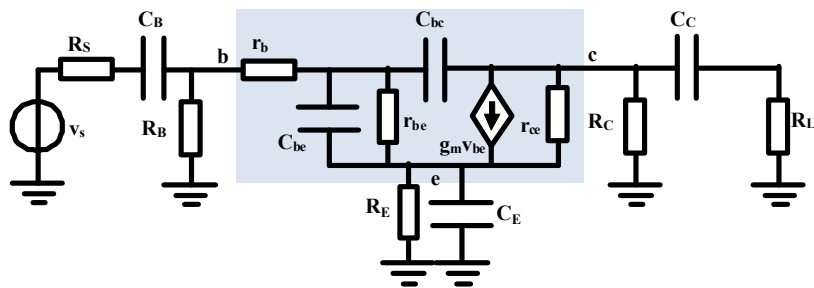


结论：
旁路电容 C_E 决定了低频端3dB频点

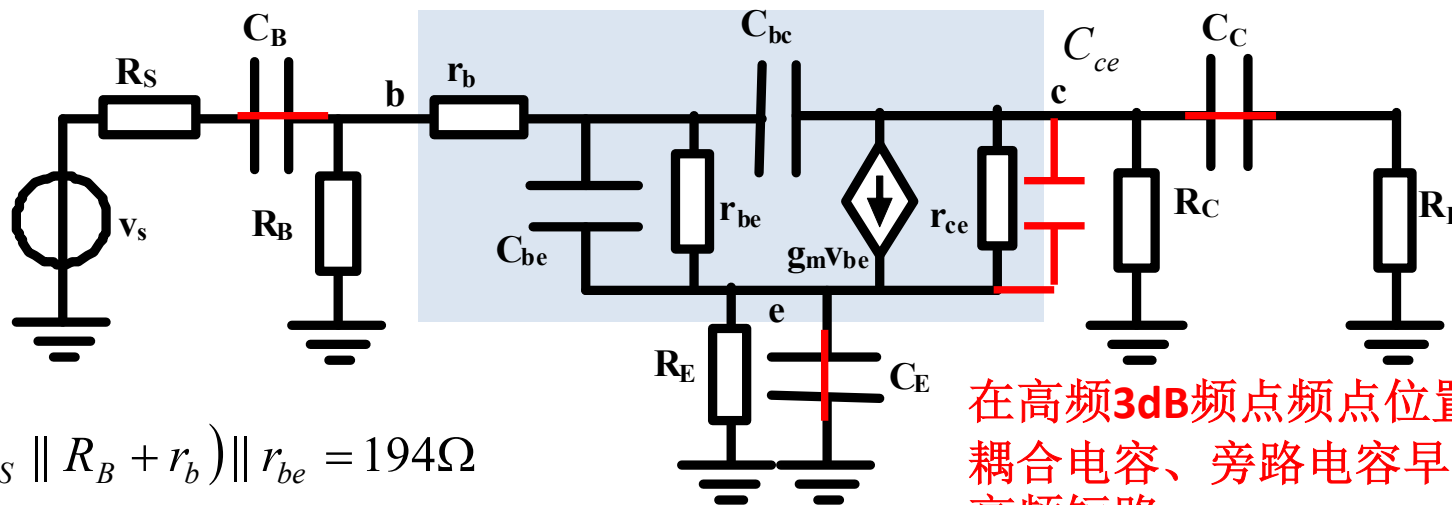
因为 C_E 两端等效电阻 $1/g_m$ 最小，时间常数最小，导致的高通3dB频点最大，因而影响最大

哪个高通电容的时间常数小，哪个电容就是低端3dB频点的主要矛盾

有效降低低端3dB频点（扩大通带范围）的措施是提高 C_E 电容大小
请同学实验验证



结点电压法求解

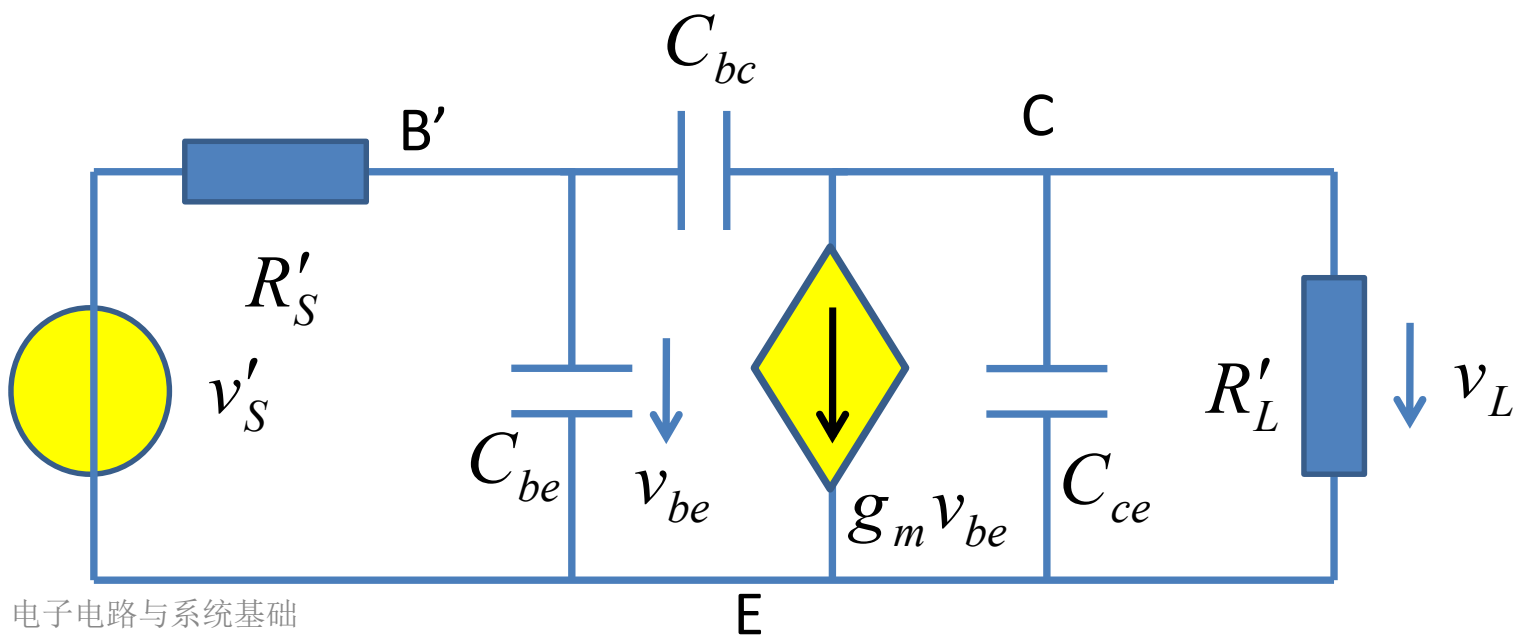


$$R'_S = (R_S \parallel R_B + r_b) \parallel r_{be} = 194\Omega$$

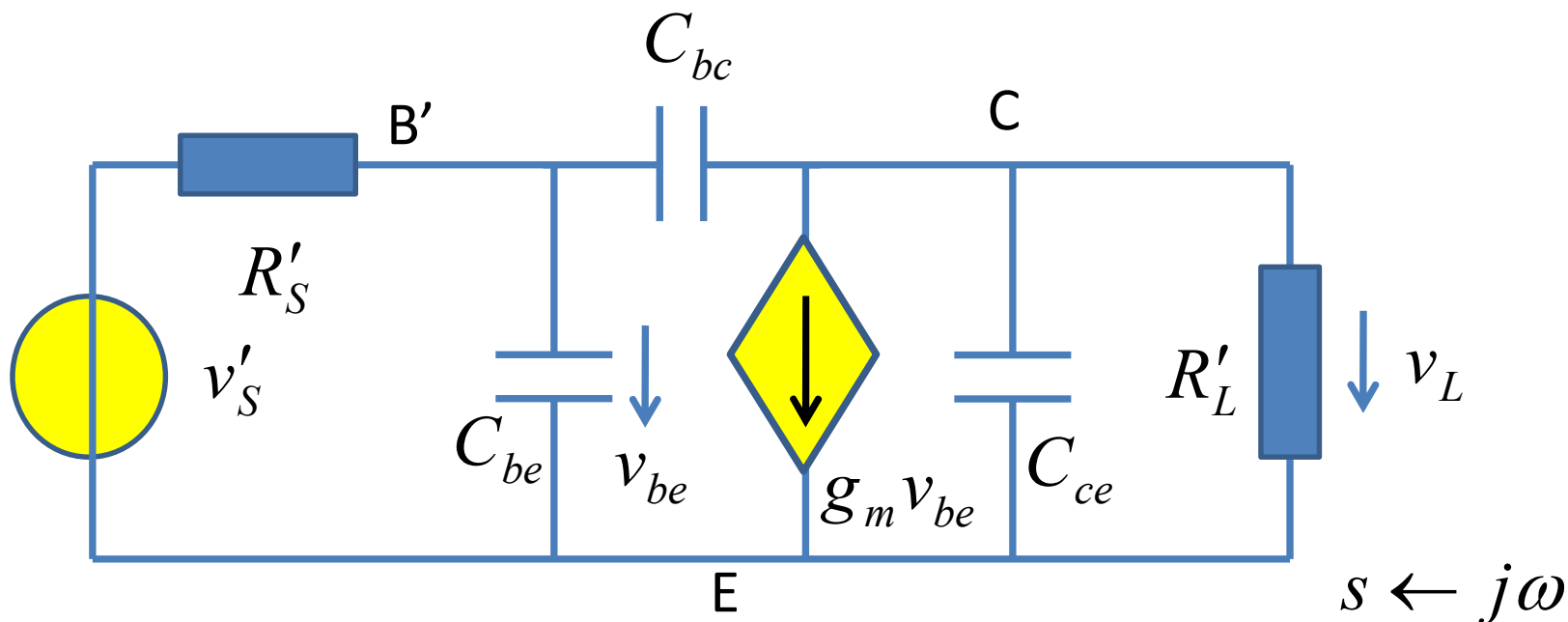
$$R'_L = R_L \parallel R_C \parallel r_{ce} = 2.85k\Omega$$

在高频3dB频点位置，
耦合电容、旁路电容早已
高频短路

高端3dB频点分析



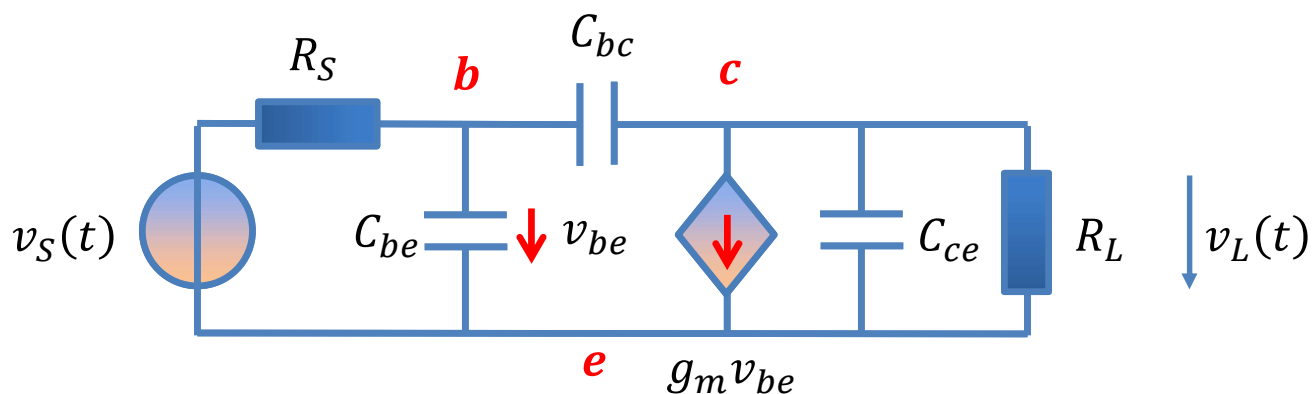
简化电路的传递函数



$$H(s) = \frac{v_L}{v'_S} = -g_m R'_L \frac{1 - \frac{sC_{bc}}{g_m}}{1 + s(C_{be}R'_S + C_{bc}(R'_S + R'_L + g_m R'_S R'_L) + C_{ce}R'_L) + s^2 R'_S R'_L (C_{bc}C_{be} + C_{be}C_{ce} + C_{ce}C_{bc})}$$

三个电容：二阶系统：三个电容电压状态变量不独立

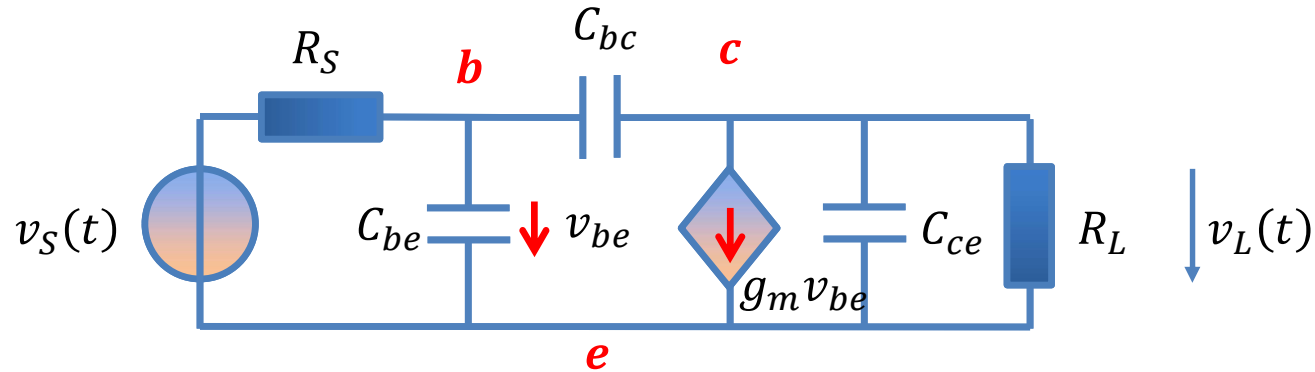
用结点电压法求取传递函数



相量域，电纳和电导同等地位

$$\begin{bmatrix} G_S + j\omega C_{be} + j\omega C_{bc} & -j\omega C_{bc} \\ -j\omega C_{bc} & G_L + j\omega C_{ce} + j\omega C_{bc} \end{bmatrix} \begin{bmatrix} \dot{V}_b \\ \dot{V}_c \end{bmatrix} = \begin{bmatrix} G_S \dot{V}_S \\ -g_m \dot{V}_b \end{bmatrix}$$

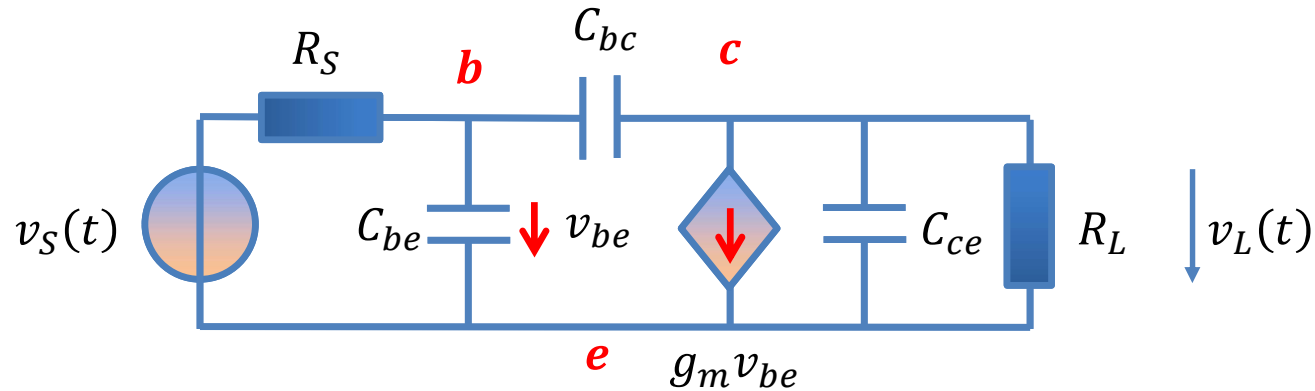
$$\begin{bmatrix} G_S + j\omega C_{be} + j\omega C_{bc} & -j\omega C_{bc} \\ g_m - j\omega C_{bc} & G_L + j\omega C_{ce} + j\omega C_{bc} \end{bmatrix} \begin{bmatrix} \dot{V}_b \\ \dot{V}_c \end{bmatrix} = \begin{bmatrix} G_S \dot{V}_S \\ 0 \end{bmatrix}$$



$$\begin{bmatrix} G_S + j\omega C_{be} + j\omega C_{bc} & -j\omega C_{bc} \\ g_m - j\omega C_{bc} & G_L + j\omega C_{ce} + j\omega C_{bc} \end{bmatrix} \begin{bmatrix} \dot{V}_b \\ \dot{V}_c \end{bmatrix} = \begin{bmatrix} G_S \dot{V}_S \\ 0 \end{bmatrix}$$

$$\begin{bmatrix} \dot{V}_b \\ \dot{V}_c \end{bmatrix} = \frac{\begin{bmatrix} G_L + j\omega C_{ce} + j\omega C_{bc} & j\omega C_{bc} \\ -g_m + j\omega C_{bc} & G_S + j\omega C_{be} + j\omega C_{bc} \end{bmatrix}}{(G_S + j\omega C_{be} + j\omega C_{bc})(G_L + j\omega C_{ce} + j\omega C_{bc}) - (-g_m + j\omega C_{bc})j\omega C_{bc}} \begin{bmatrix} G_S \dot{V}_S \\ 0 \end{bmatrix}$$

$$\begin{bmatrix} V_B \\ V_C \end{bmatrix} = \frac{\begin{bmatrix} G_L + sC_{ce} + sC_{bc} & sC_{bc} \\ -g_m + sC_{bc} & G_S + sC_{be} + sC_{bc} \end{bmatrix}}{(G_S + sC_{be} + sC_{bc})(G_L + sC_{ce} + sC_{bc}) - (-g_m + sC_{bc})sC_{bc}} \begin{bmatrix} G_S V_S \\ 0 \end{bmatrix}$$



$$\begin{bmatrix} V_B \\ V_C \end{bmatrix} = \frac{\begin{bmatrix} G_L + sC_{ce} + sC_{bc} & sC_{bc} \\ -g_m + sC_{bc} & G_S + sC_{be} + sC_{bc} \end{bmatrix}}{(G_S + sC_{be} + sC_{bc})(G_L + sC_{ce} + sC_{bc}) - (-g_m + sC_{bc})sC_{bc}} \begin{bmatrix} G_S V_S \\ 0 \end{bmatrix}$$

$$= \frac{\begin{bmatrix} G_L + sC_{ce} + sC_{bc} \\ -g_m + sC_{bc} \end{bmatrix} G_S V_S}{G_S G_L + s(C_{ce} G_S + C_{be} G_L + C_{bc}(G_S + G_L + g_m)) + s^2(C_{be} C_{bc} + C_{bc} C_{ce} + C_{ce} C_{be})}$$

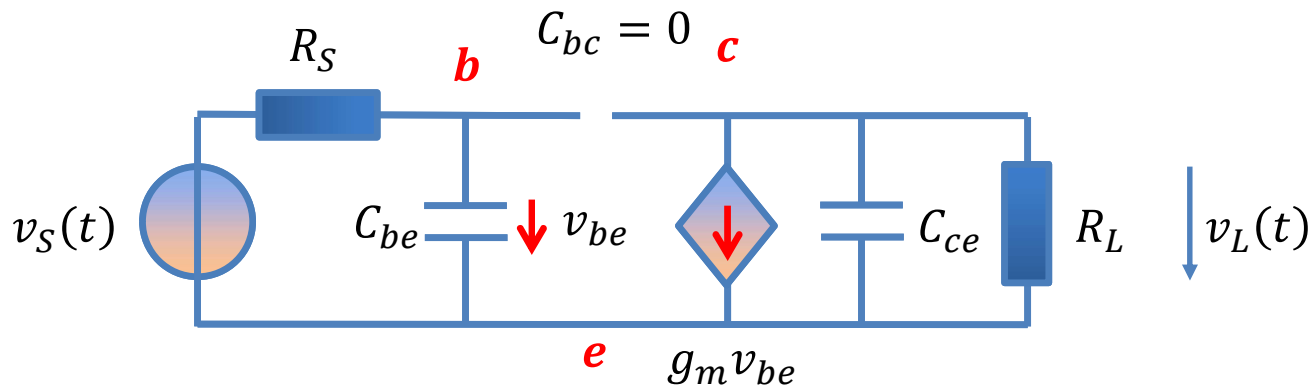
$$H(s) = \frac{V_L}{V_S} = \frac{V_C}{V_S} = \frac{(-g_m + sC_{bc})G_S}{G_S G_L + s(C_{ce} G_S + C_{be} G_L + C_{bc}(G_S + G_L + g_m)) + s^2(C_{be} C_{bc} + C_{bc} C_{ce} + C_{ce} C_{be})}$$

多项式归一化： $s=0$ 代表直流电阻电路

$$= -g_m R_L \frac{\left(1 - s \frac{C_{bc}}{g_m}\right)}{1 + s(C_{ce} R_L + C_{be} R_S + C_{bc}(R_S + R_L + g_m R_S R_L)) + s^2(C_{be} C_{bc} + C_{bc} C_{ce} + C_{ce} C_{be}) R_S R_L}$$

凡是复杂一点的公式，都应做量纲检查，极端检查：所有电容为0，开路

极 端 检 查 1



C_{bc} 开路后，电路变成单向网络

$$H(s) = -g_m R_L \frac{\left(1 - s \frac{C_{bc}}{g_m}\right)}{1 + s(C_{ce}R_L + C_{be}R_S + C_{bc}(R_S + R_L + g_m R_S R_L)) + s^2(C_{be}C_{bc} + C_{bc}C_{ce} + C_{ce}C_{be})R_S R_L}$$

$$\stackrel{C_{bc}=0}{\cong} -g_m R_L \frac{1}{1 + s(C_{ce}R_L + C_{be}R_S) + s^2 C_{ce} C_{be} R_S R_L} = -g_m R_L \frac{1}{(1 + sC_{be}R_S)(1 + sC_{ce}R_L)}$$

$$\frac{R_L \frac{1}{sC_{ce}}}{\frac{1}{sC_{ce}} + R_L}$$

$$= \frac{R_L}{1 + sC_{ce}R_L} (-g_m) \frac{1}{1 + sC_{be}R_S}$$

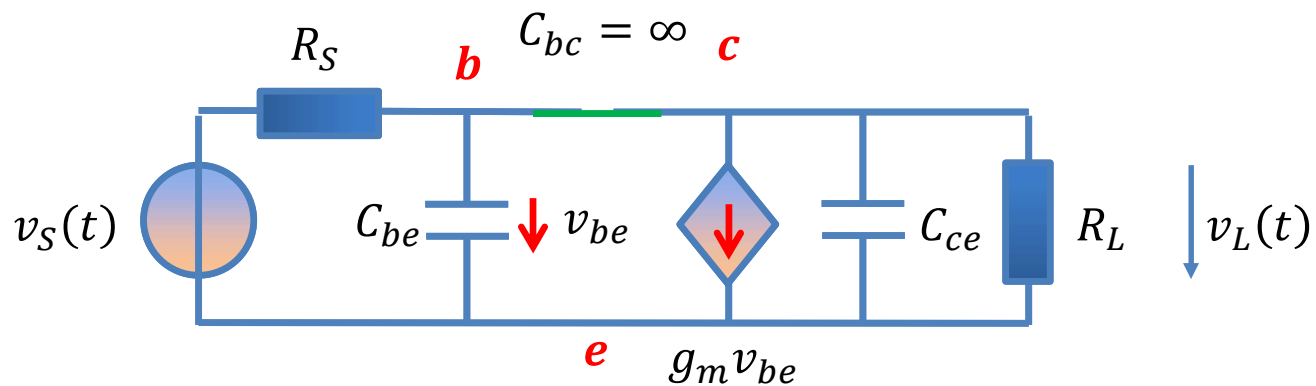
输出电流流
过输出回路
总阻抗形成
输出电压

被本征跨导
增益转换为
输出电流

输入
回路
分压

$$\frac{1}{\frac{1}{sC_{be}} + R_S}$$

极端检查 2



通过量纲检查、极端检查的表达式，基本认可其准确性

$$H(s) = -g_m R_L \frac{\left(1 - s \frac{C_{bc}}{g_m}\right)}{1 + s(C_{ce} R_L + C_{be} R_S + C_{bc}(R_S + R_L + g_m R_S R_L)) + s^2(C_{be} C_{bc} + C_{bc} C_{ce} + C_{ce} C_{be}) R_S R_L}$$

$$\stackrel{C_{bc}=\infty}{\cong} -g_m R_L \frac{-s \frac{C_{bc}}{g_m}}{s C_{bc}(R_S + R_L + g_m R_S R_L) + s^2(C_{be} + C_{ce}) C_{bc} R_S R_L}$$

$$= \frac{R_L}{(R_S + R_L + g_m R_S R_L) + s(C_{be} + C_{ce}) R_S R_L} = \frac{1}{\underbrace{(G_S + G_L + g_m) + s(C_{be} + C_{ce})}_{\text{诺顿电流流过并联阻抗, 形成电压}}} \underbrace{G_S}_{\text{戴维南源转化为诺顿源}}$$

诺顿电流流过并联
阻抗，形成电压

戴维南源
转化为诺
顿源

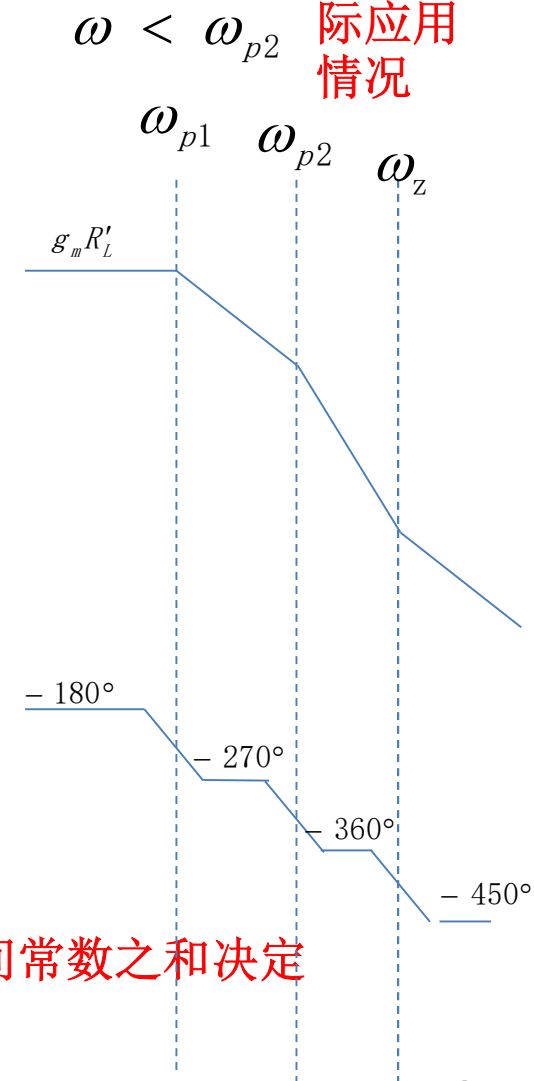
二阶系统的一阶近似分析

这是实际
应用
情况

$$H(s) = \frac{v_L}{v'_S} = -g_m R'_L \frac{1 - \frac{sC_{bc}}{g_m}}{1 + s(C_{be}R'_S + C_{bc}(R'_S + R'_L + g_m R'_S R'_L) + C_{ce}R'_L) + s^2 R'_S R'_L (C_{bc}C_{be} + C_{be}C_{ce} + C_{ce}C_{bc})}$$

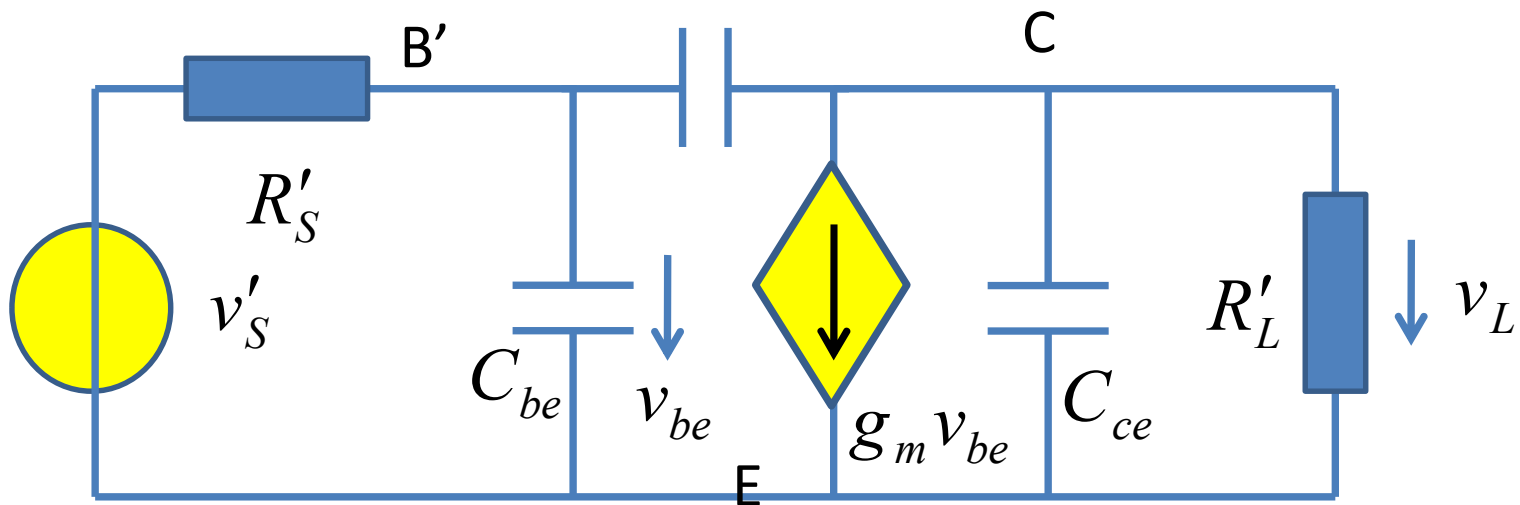
$$\begin{aligned} s=j\omega &= -g_m R'_L \frac{1 - \frac{j\omega}{\omega_z}}{\left(1 + \frac{j\omega}{\omega_{p1}}\right)\left(1 + \frac{j\omega}{\omega_{p2}}\right)} \quad \omega \text{不是很高时, 近似为一阶} \\ &\approx -g_m R'_L \frac{1}{1 + \frac{j\omega}{\omega_{p1}}} \quad \omega_{p1} \ll \omega_{p2} \ll \omega_z \end{aligned}$$

$$\approx -g_m R'_L \frac{1}{1 + j\omega(C_{be}R'_S + C_{bc}(R'_S + R'_L + g_m R'_S R'_L) + C_{ce}R'_L)}$$



高端3dB频点近似由所有低通电容开路时间常数之和决定

开路时间常数



$$\tau_{be} = C_{be} R'_S = 70 \text{ pF} \times 194 \Omega = 13.58 \text{ ns}$$

$$\begin{aligned} \tau_{bc} &= C_{bc} (R'_S + R'_L + g_m R'_S R'_L) \\ &= 2 \text{ pF} \times (194 + 2850 + 41.5 \times 2.85 \times 194) \\ &= 2 \text{ pF} \times 25989 \Omega = 51.98 \text{ ns} \end{aligned}$$

$$\tau_{ce} = C_{ce} R'_L = 0 \quad \tau = \tau_{be} + \tau_{bc} + \tau_{ce} = 65.56 \text{ ns}$$

$$f_{h,3dB} = \frac{1}{2\pi\tau} = 2.43 \text{ MHz}$$

$$f_{l,3dB} \approx f_{0B} + f_{0C} + f_{0E}$$

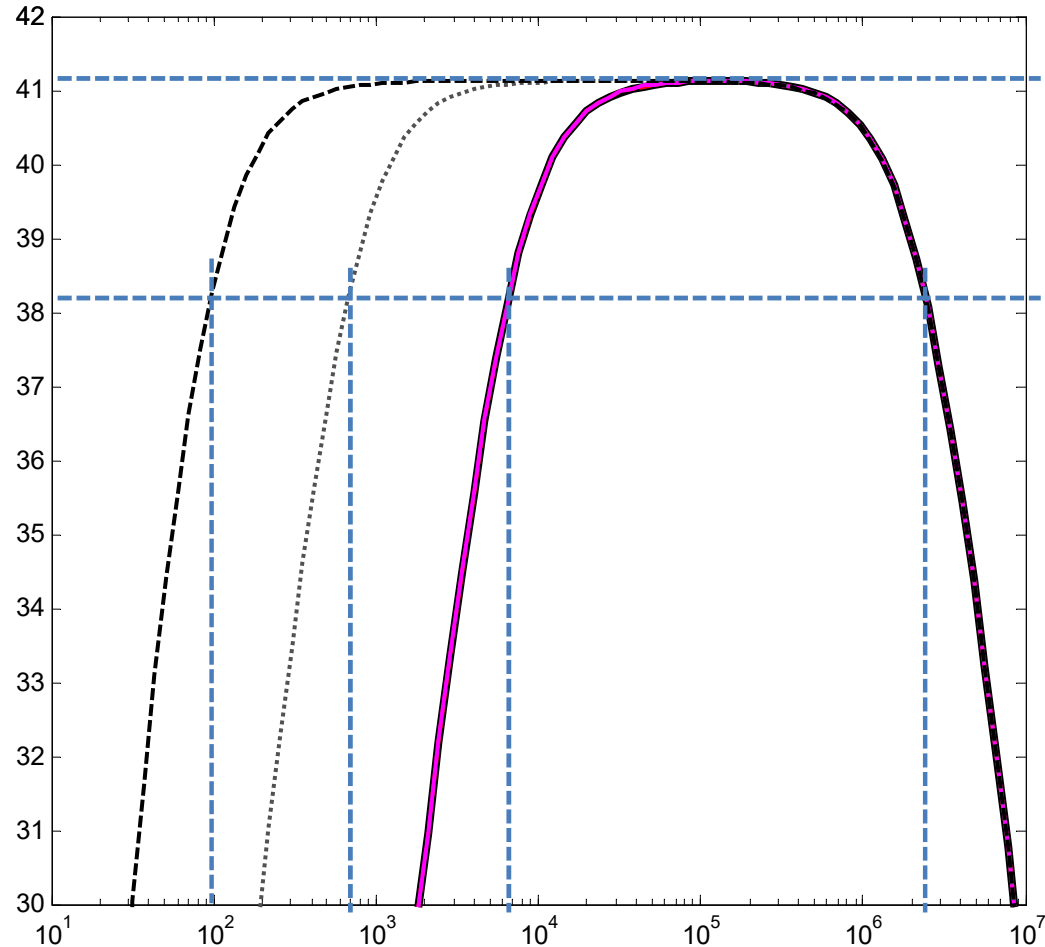
$$= 6659Hz, 700Hz, 120Hz$$

放大器带宽一阶估算

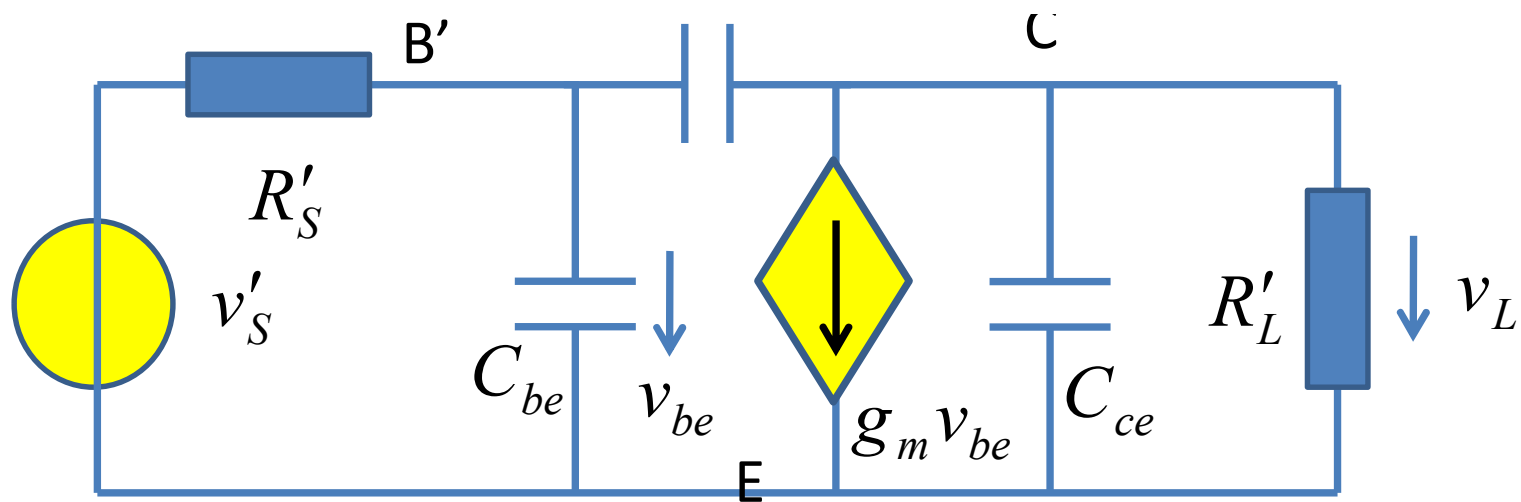
低端3dB频点由高通电容
(耦合电容、旁路电容)
决定：计算单个电容的短路
时间常数，获得每个电容
的低端3dB频点，求和获
得总的低端3dB频点

$$f_{h,3dB} = \frac{1}{2\pi\tau} = 2.43MHz$$

高端3dB频点由低通电容
(晶体管寄生电容) 决
定：计算单个电容的开
路时间常数，求和获得
总的高端3dB频点对应时
间常数



如何把高阶低通当成一阶低通处理？



$$H(j\omega) = \dots$$

$$\approx A_0 \frac{1}{1 + j\omega\tau_1} \cdot \frac{1}{1 + j\omega\tau_2} \cdot \frac{1}{1 + j\omega\tau_3}$$

非真正传递函数，
纯粹一个估计

$$\approx A_0 \frac{1}{1 + j\omega(\tau_1 + \tau_2 + \tau_3) + (j\omega)^2(\dots) + (j\omega)^3(\dots)}$$

$$\approx A_0 \frac{1}{1 + j\omega(\tau_1 + \tau_2 + \tau_3)} \approx A_0 \frac{1}{1 + \frac{j\omega}{\omega_0}}$$

关注转折频点附近
前的低频端通带

$$\omega_0 \approx \frac{1}{\tau_1 + \tau_2 + \tau_3}$$

$$f_{h,3dB} = \frac{\omega_0}{2\pi} \approx \frac{1}{2\pi(\tau_1 + \tau_2 + \tau_3)}$$

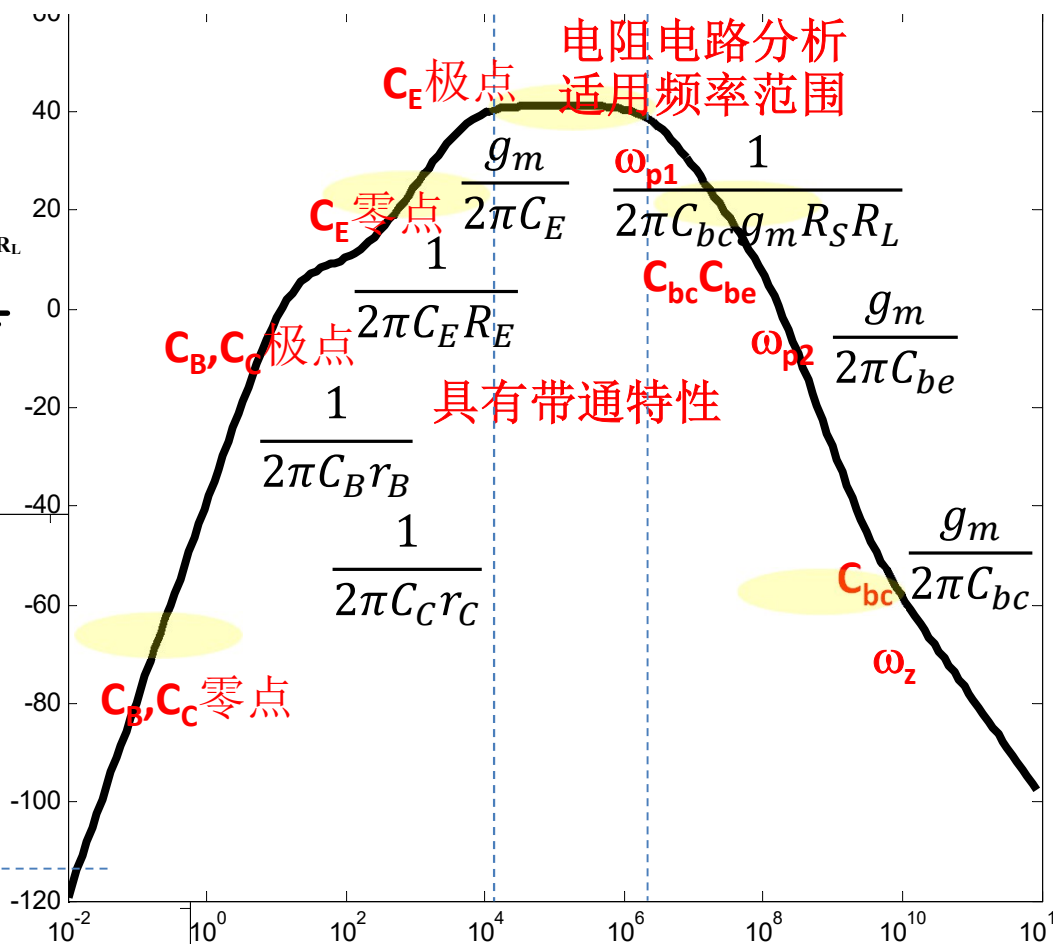
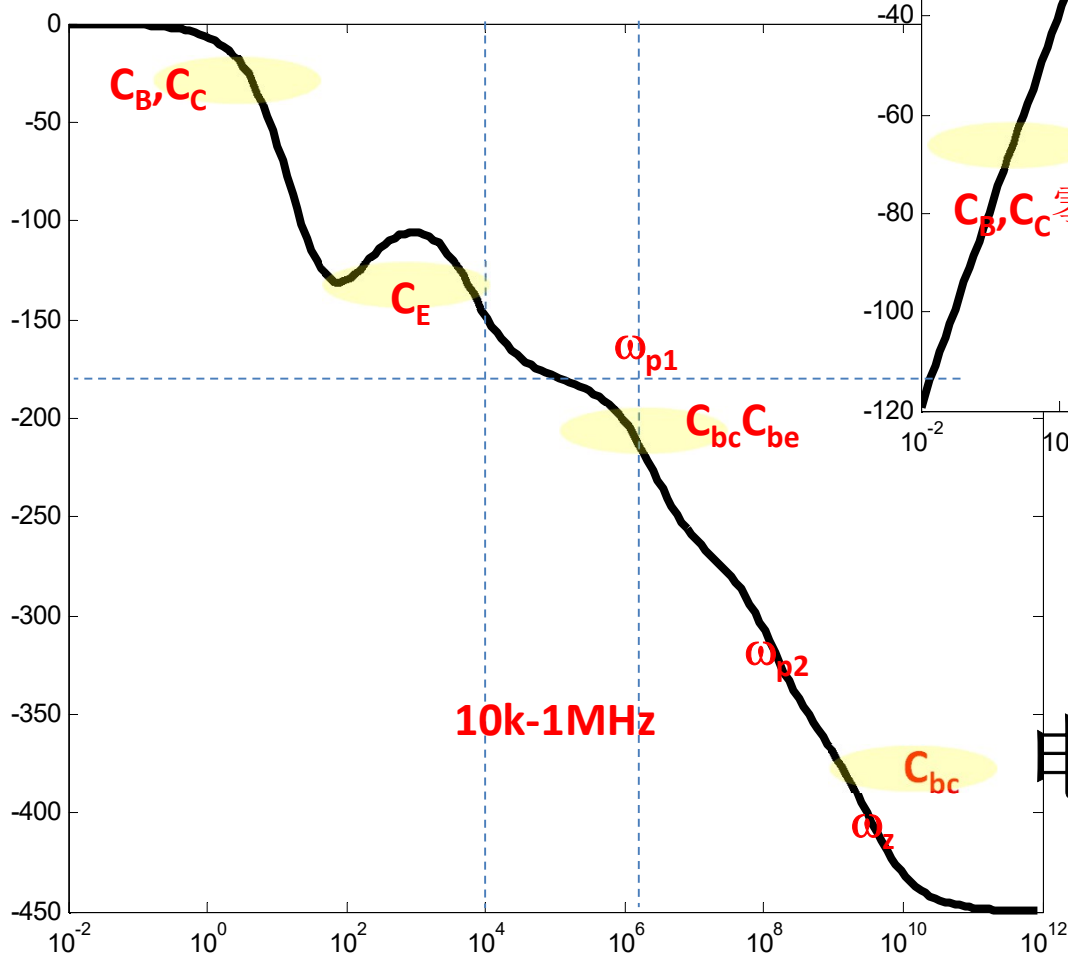
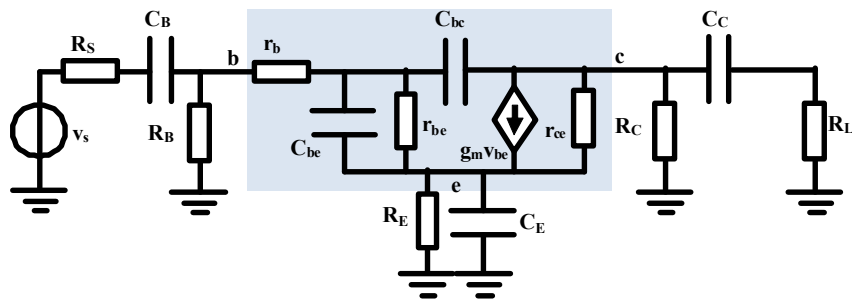
晶体管放大器带宽的估算

- 晶体管放大器电路中的电容很多，是高阶动态系统
 - 由于这些电容的影响力相差较大，从而对低端**3dB**频点和高端**3dB**频点估算时，均可用一阶系统近似
- 低端**3dB**频点由高通电容（耦合电容、旁路电容）决定
 - 估算低端**3dB**频点时，小的寄生电容低频开路处理
 - 计算每个高通电容的短路时间常数，对应截止频点，低端**3dB**频点近似是所有截止频点之和

$$f_{l,3dB} \approx f_{0B} + f_{0C} + f_{0E} = \frac{1}{2\pi} \cdot \left[\frac{1}{C_B R_{BS}} + \frac{1}{C_C R_{CS}} + \frac{1}{C_E R_{ES}} \right]$$

- 高端**3dB**频点由低通电容（晶体管寄生电容）决定
 - 估算高端**3dB**频点时，大的耦合电容、旁路电路高频短路处理
 - 计算每个低通电容的开路时间常数，求和获得总时间常数，对应截止频率近似为高端**3dB**频点

$$f_{h,3dB} \approx \frac{1}{2\pi(\tau_{be} + \tau_{bc} + \tau_{ce})} = \frac{1}{2\pi} \cdot \frac{1}{C_{be}R'_S + C_{bc}(R'_S + R'_L + g_m R'_S R'_L) + C_{ce}R'_L}$$



到底是哪个电容在起作用?
形成如是幅频特性和相频特性?

电容形成的频率特性